



工欲善其事 必先利其器

—Web of Science 高效助力科研创新

马亚鹏 | 科睿唯安 | 学术研究事业部 | 解决方案专家

科睿唯安技术支持联系方式
ts.support.china@clarivate.com
021 - 8036 9475

内容大纲

Web of Science简介

Web of Science高效助力科研创新

- 借助Web of Science快速准确锁定与课题相关的核心文献
- 全方位分析已有信息，定位行业专家，把握课题发展方向和趋势
- 数据分析助力选择合适期刊发表研究成果
- 利用引文数据寻找领域研究前沿
- 利用EndNote高效进行文献管理

Web of Science平台多元化信息资源助推学术发展

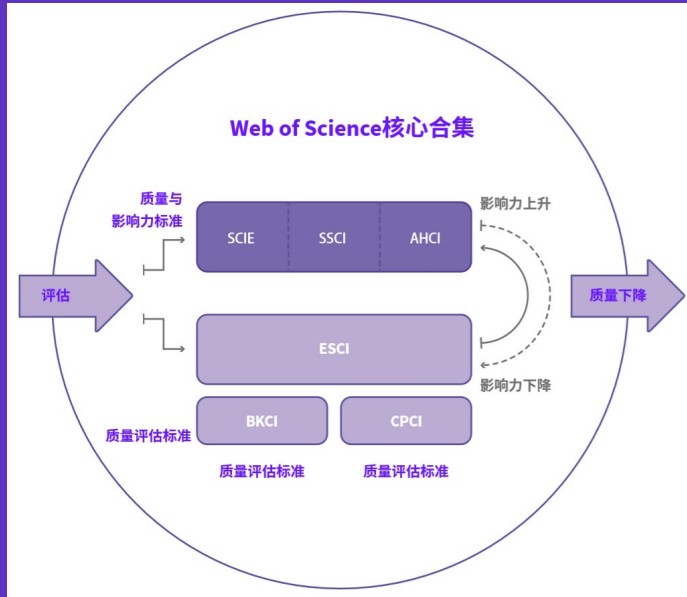


Web of Science简介

Web of Science核心合集包含以下子库：

权威数据，客观支撑

客观、择优、动态收录



根据文献计量学中的布莱福德定律 (Bradford's law)，在各个学科领域中，少数的核心期刊汇集了足够的信息，反映科学发展中最重要的成果与进展，因而wos核心合集仅收录各学科领域中的重要学术期刊。

学术期刊 Journals

- Science Citation Index Expanded (科学引文索引)
178个学科的9500多种高质量学术期刊
- Social Sciences Citation Index (社会科学引文索引)
58个社会科学学科的3500多种权威学术期刊
- Arts & Humanities Citation Index (艺术与人文引文索引)
收录28个人文艺术领域学科的1800多种国际性、高影响力的学术期刊的数据内容
- Emerging Sources Citation Index (新兴领域引文索引)
聚焦新兴领域，收录超过8100种自然科学，人文与社科的高质量学术期刊

- Conference Proceedings Citation Index – Science
- Conference Proceedings Citation Index – Social Science & Humanities
(会议录引文索引- 自然科学版+社会科学与人文版)

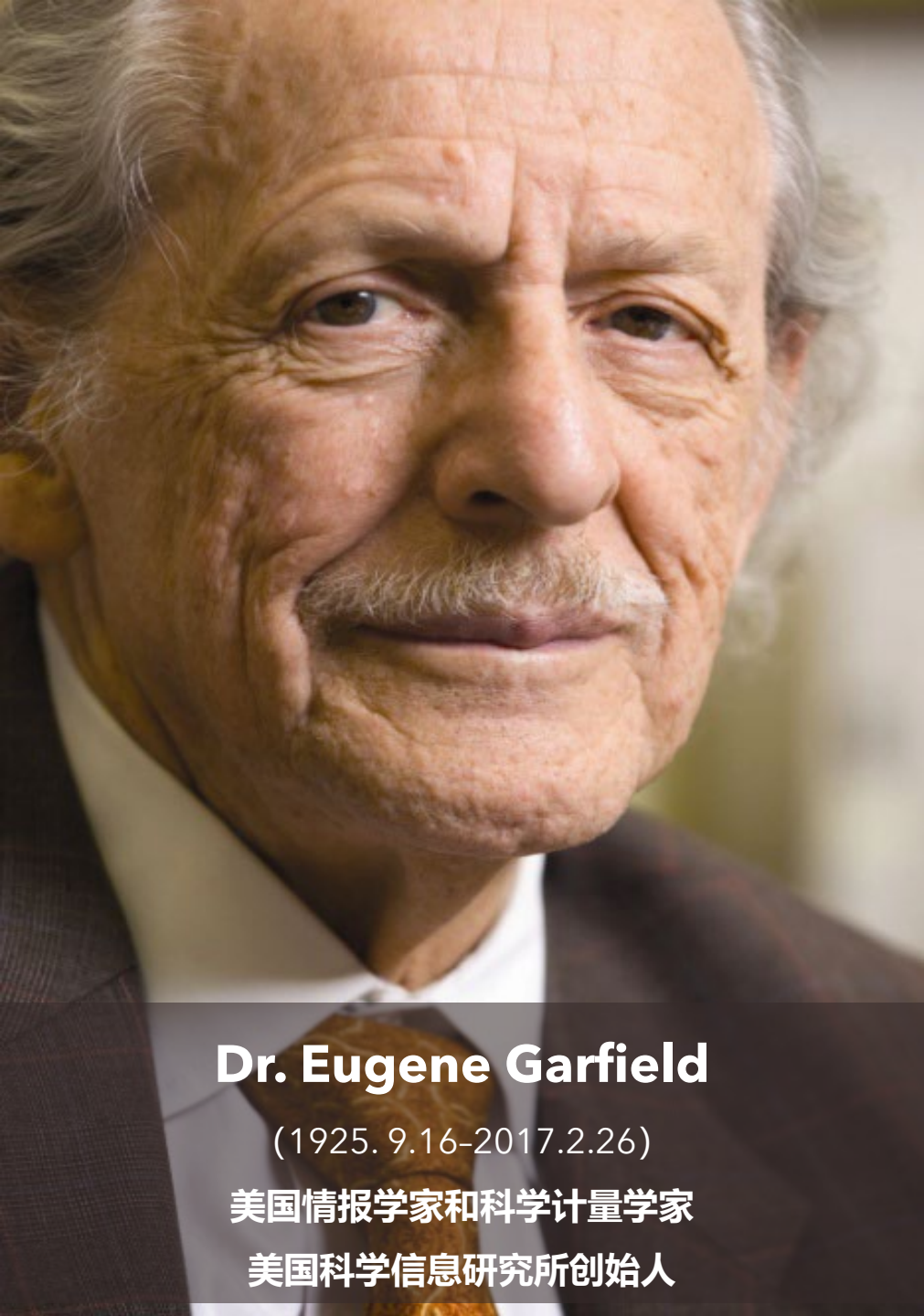
学术会议 Proceedings

超过300,000个会议录，涉及250多个学科

- Book Citation Index - Science + Social Science & Humanities
(图书引文索引-自然科学版 + 社会科学与人文版)
- 收录超过140,000种学术专著，同时每年增加10,000种新书

学术图书 Book

Citation Index?



Dr. Eugene Garfield

(1925. 9.16-2017.2.26)

美国情报学家和科学计量学家

美国科学信息研究所创始人

Citation Indexes for Science

A New Dimension in Documentation
through Association of Ideas

Eugene Garfield

“The uncritical citation of disputed data by a writer, whether it be deliberate or not, is a serious matter. Of course, knowingly propagandizing unsubstantiated claims is particularly abhorrent, but just as many naive students may be swayed by unfounded assertions presented by a writer who is unaware of the criticisms. Buried in scholarly journals, critical notes are increasingly likely to be overlooked with the passage of time, while the studies to which they pertain, having been reported more widely, are

approach to subject control of the literature of science. By virtue of its different construction, it tends to bring together material that would never be collated by the usual subject indexing. It is best described as an association-of-ideas index, and it gives the reader as much leeway as he requires. Suggestiveness through association-of-ideas is offered by conventional subject indexes but only within the limits of a particular subject heading.

If one considers the book as the macro unit of thought and the periodical article

Unique
Data
独特

- Dr. Garfield 1955年在 *Science* 发表论文提出将引文索引作为一种新的文献检索与分类工具：将**一篇文献**作为检索字段从而跟踪一个Idea的发展过程及学科之间的交叉渗透的关系。

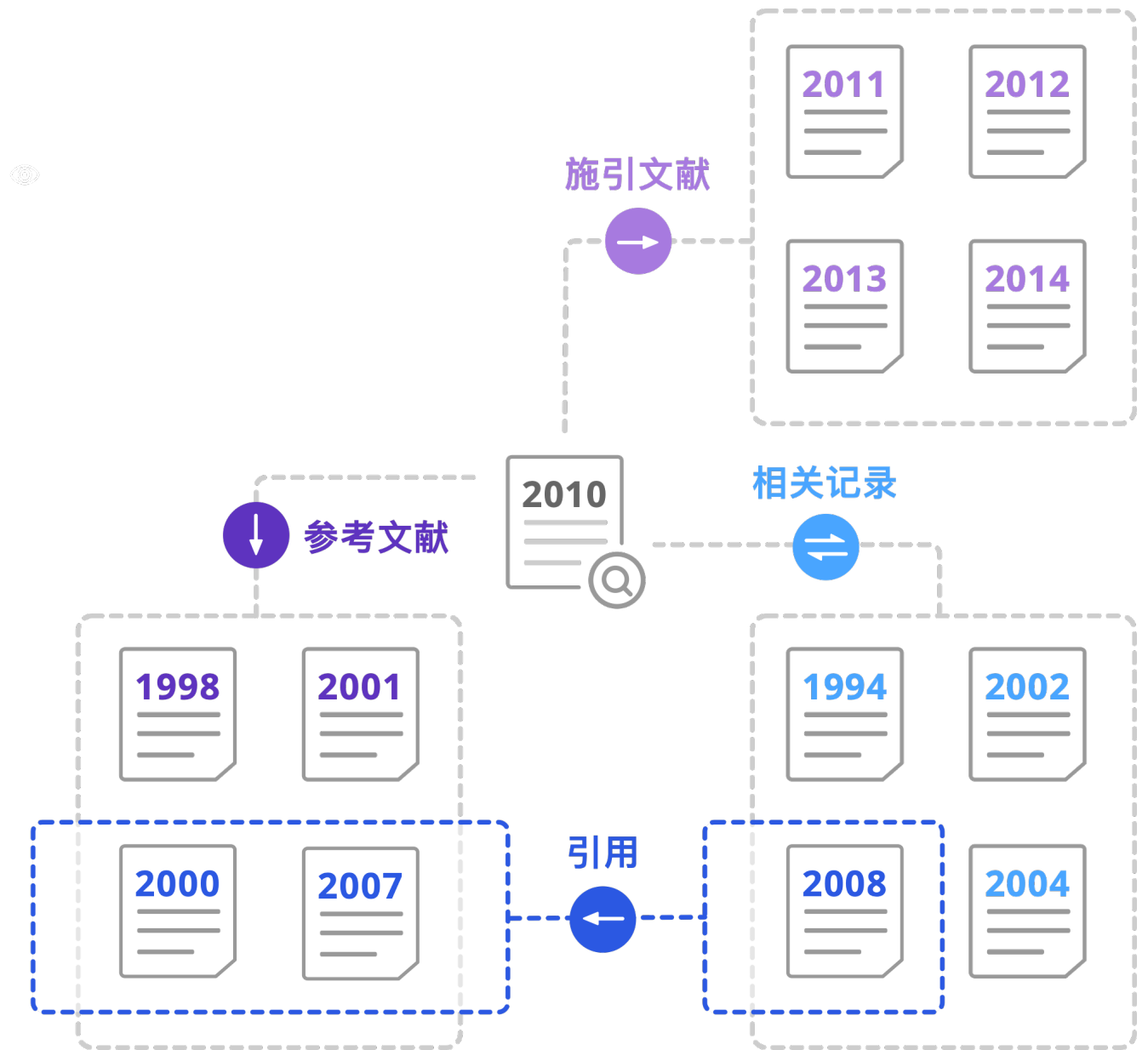


Dr. Eugene Garfield

(1925. 9.16-2017.2.26)

美国情报学家和科学计量学家

美国科学信息研究所创始人



Web of Science核心合集——引文网络助力跨越学科界限的知识探索

Web of Science

Clarivate Analytics

实时、持续更新的引文网络

检索 返回检索结果 工具 检索和跟踪 检索历史 标记结果列表

查找全文 出版商处的全文 导出... 添加到标记结果列表

第 1 条, 共 1 条

L-infinity error estimates of discontinuous Galerkin methods for delay differential equations

作者: Li, DF (Li, Dongfang)^[1,2]; Zhang, CJ (Zhang, Chengjian)^[1]
查看 Web of Science ResearcherID 和 ORCID

APPLIED NUMERICAL MATHEMATICS
卷: 82 页: 1-10
DOI: 10.1016/j.apnum.2014.01.008
出版年: AUG 2014
文献类型: Article
查看期刊影响力

延迟微分方程不连续Galerkin法的L-无穷大误差估算

摘要
In this paper, we investigate the convergence behavior of discontinuous Galerkin methods for solving a class of delay differential equations. Although discontinuities may occur in various orders of the derivative of the solutions, we show that the m-degree DG solutions have (m+1)th order accuracy in L-infinity norm. Numerical experiments confirm the theoretical results of the methods. (C) 2014 IMACS. Published by Elsevier B.V. All rights reserved.

关键词
作者关键词: Convergence; Discontinuous Galerkin methods; Delay differential equations; Numerical experiments
KeyWords Plus: RUNGE-KUTTA METHODS; NONLINEAR STABILITY; DYNAMICAL-SYSTEMS; PANTOGRAPH TYPE; SUPERCONVERGENCE; DISSIPATIVITY

作者信息
通讯作者地址:
Huazhong University of Science & Technology Huazhong Univ Sci & Technol, Sch Math & Stat, Wuhan 430074, Peoples R China.
通讯作者地址: Zhang, CJ (通讯作者)
+ Huazhong Univ Sci & Technol, Sch Math & Stat, Wuhan 430074, Peoples R China.
地址:
+ [1] Huazhong Univ Sci & Technol, Sch Math & Stat, Wuhan 430074, Peoples R China
+ [2] McGill Univ, Dept Math & Stat, Montreal, PQ H3A 2K6, Canada
电子邮件地址: hustidf@gmail.com; cjzhang@mail.hust.edu.cn

引文网络

在 Web of Science 核心合集中

174

被引频次

高被引论文

创建引文跟踪

全部被引频次计数

178 / 所有数据库

查看较多计数

19

引用的参考文献

查看相关记录

新增功能! 您可能也喜欢... BETA

Experimental and DFT Studies of Au Deposition Over WO3/g-C3N4 Z-Scheme Heterojunction. NANO-MICRO LETTERS (2020)
A HIGH-ORDER ACCURACY METHOD FOR SOLVING THE FRACTIONAL DIFFUSION EQUATIONS. JOURNAL OF COMPUTATIONAL MATHEMATICS (2020)

施引文献 (174+)

- ✓ 与平板太阳能集热器集成的开放式热化学储能系统的性能评价——能源与燃料
- ✓ 线性中性延迟微分方程的连续加勒金有限元方法——应用数学
- ✓

参考文献 (19)

- ✓ 普通微分方程的不连续Galerkin法——应用数学
- ✓

相关记录 (1959+)

- ✓ 一维浅水方程的RKDG法黎曼解——水资源
- ✓ 在低应力水平下运行地震破裂与热弱和主要断层——地球化学与地球物理学
- ✓

[鼎新中文发现](#) | [鼎新外文发现](#) | [馆藏目录](#) | [E读](#)

[意见反馈](#)

常用服务

- [开馆时间](#)
- [学位论文提交系统](#)
- [个人借阅信息](#)
- [数据库快捷通道](#)
- [新书通报](#)
- [随书光盘系统](#)
- [咨询服务 FAQ](#)
- [网上开放课程](#)
- [书刊荐购](#)
- [中外核心期刊](#)
- [校外访问](#)
- [自助文印](#)
- [信息素养教育课堂](#)

图书馆2024年春季 “信息素养教育课堂” 开课啦

关于图书馆2024年春季“信息素养教育课堂”开课的

1 | 2 | 3 | 4 | 5

- ### 常用数据库
- [常用数据库](#)
 - [中国知网CNKI.NET\(账号: d\)](#)
 - [万方数据知识服务平台](#)
 - [维普中文期刊全文数据库](#)
 - [超星数字图书馆](#)
 - [百度文库](#)
 - [Web of Science - SCI/SSC](#)

- ### Web of Science
- [Eisevier ScienceDirect](#)
 - [Springer Link](#)
 - [Wiley Online Library](#)
 - [Engineering Village](#)
 - [+更多](#)

推荐服务

出版物

- [科技查新](#)
- [新生导读](#)
- [座位预约](#)
- [白桦书声](#)
- [馆际互借与文献传递](#)

通知公告

资源动态 | 培训与活动

- [【讲座】工欲善其事，必先利其器：Web o10-08](#)
- [【讲座】图书馆资源概览——图书馆秋季*10-08](#)
- [图书馆2024年秋季“信息素养教育课堂”开10-08](#)
- [【通知】ProQuest学位论文免费荐购开始啦09-27](#)
- [【通知】关于图书馆2024年中秋节和国庆节09-25](#)
- [+更多](#)

访问Web of Science平台：
www.webofscience.com



Web of Science 高效助力科研创新

示例：低渗储层岩石物理性质

以低渗储层为例，检索查询近十年该领域国内外研究现状

> 菜单



文献

研究人员

智能检索试用版 高级检索

选择数据库: Web of Science 核心合集 引文索引: All

分类检索 被引参考文献 化学结构

TS=(("low permeability") AND rock) AND PY=(2014-2024)

主题

示例: oil spill* mediterranean

AND

主题

示例: oil spill* mediterranean

+ 添加行

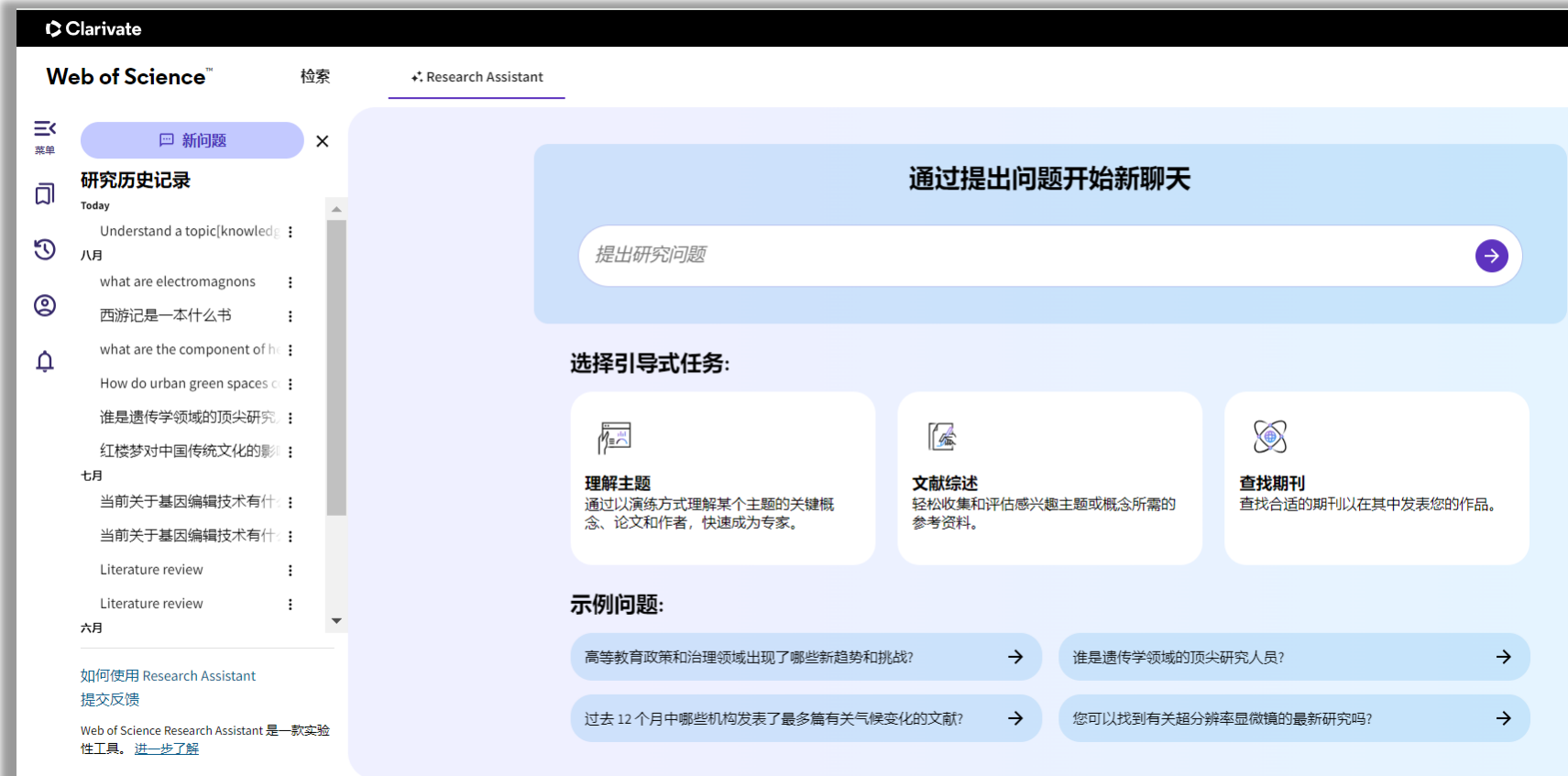
+ 添加日期范围

× 清除

检索



Web of Science Research Assistant 更智能地助力研究发现



- ✓ 负责任的生成式人工智能研究助手
- ✓ 基于最值得信赖的引文索引数据库——WOS核心合集（经过严格遴选的同行评审期刊）
- ✓ 支持多语言搜索
- ✓ 引导式助您深入探索
- ✓ 交互式可视化展现

示例：低渗储层岩石物理性质

以低渗储层为例，检索查询近十年该领域国内外研究现状

2,371 条来自 Web of Science 核心合集的结果:

分析检索结果

引文报告

创建跟踪服务

TS=(("low permeability") AND rock) AND PY=(2014-2024)

检索

添加关键词

快速添加关键词:

+ LOW-PERMEABILITY SANDSTONE

+ LOW PERMEABILITY RESERVOIR

+ LOW-PERMEABILITY

+ RESERVOIR CHARACTERISTICS

+ LOW-PERMEAB

出版物

您可能也想要...

复制检索式链接

精炼检索结果

在结果中检索...



快速过滤

- 高被引论文 12
- 热点论文 1
- 综述论文 66
- 在线发表 20
- 开放获取 984
- 相关数据 14
- 被引参考文献深度分析 457
- 公开出版商 - 受邀审阅 6

0/2,371

添加到标记结果列表

导出

排序方式: 被引频次: 最高优先

1 / 48

1 Natural fractures in shale: A review and new observations



Gale, JFW; Laubach, SE; (...); Fall, A



Nov 2014 | AAPG BULLETIN 98 (11), pp.2165-2216

Natural fractures have long been suspected as a factor in production from shale reservoirs because gas and oil production commonly exceeds the rates expected from low-porosity and low-permeability shale host rock. Many shale outcrops, cores, and image logs contain fractures or fracture traces, and microseismic event patterns associated with hydraulic-fracture stimulation have been ascribed to n ... 显示更多



出版商处的全文

645

被引频次

253

参考文献

相关记录 ?

2 Maximum magnitude earthquakes induced by fluid injection

444

浩如烟海
无从下手

快速锁定心仪的文献

示例：低渗储层岩石物理性质

以低渗储层为例，检索查询近十年该领域国内外研究现状

2,371 条来自 Web of Science 核心合集的结果:

分析检索结果

引文报告

创建跟踪服务

TS=(("low permeability") AND rock) AND PY=(2014-2024)

检索

添加关键词

快速添加关键词:

LOW-PERMEABILITY SANDSTONE

LOW PERMEABILITY RESERVOIR

LOW-PERMEABILITY

RESERVOIR CHARACTERISTICS

LOW-PERMEAB

出版物

您可能也想要...

复制检索式链接

精炼检索结果

在结果中检索...



快速过滤

- 高被引论文 12
- 热点论文 1
- 综述论文 66
- 在线发表 20
- 开放获取 984
- 相关数据 14
- 被引参考文献深度分析 457
- 公开出版商 - 受邀审阅 6

0/2,371

添加到标记结果列表

导出

排序方式: 被引频次: 最高优先

1 / 48

1 Natural fractures in shale: A review and new observations

Gale, JFW; Laubach, SE; (...); Fall, A

Nov 2014 | AAPG BULLETIN 98 (11), pp.2165-2216

Natural fractures have long been suspected as a factor in production from shale reservoirs because gas and oil production is expected from low-porosity and low-permeability shale host rock. Many shale outcrops, cores, and image logs contain microseismic event patterns associated with hydraulic-fracture stimulation have been ascribed to n

出版商处的全文

2 Maximum magnitude earthquakes induced by fluid injection

相关性

最近添加

引文类别

日期: 降序

日期: 升序

被引频次: 最高优先

被引频次: 最低优先

使用次数 (所有时间): 最多优先

使用次数 (最近 180 天): 最多优先

会议标题: 升序

会议标题: 降序

第一作者姓名: 升序

第一作者姓名: 降序

出版物标题: 升序

出版物标题: 降序

引文索引发现影响力较高的文献

S·F·X 出版商处的全文 导出 添加到标记结果列表 < 1 / 1 >

Molecular dynamics simulations of oil transport through inorganic nanopores in shale

页岩中无机纳米孔输油的分子动力学模拟

作者 Wang, S (Wang, Sen) [1], [2]; Javadpour, F (Javadpour, Farzam) [1]; Feng, QH (Feng, Qihong) [2]

查看 Web of Science ResearcherID 和 ORCID (由 Clarivate 提供)

来源出版物

Farzam Javadpour: 德州大学奥斯汀分校教授, 研究方向: 利用流体流动的基本原理来解决不同多物理场和多学科过程中的问题, 例如非常规自然系统中的石油和天然气生产以及半导体晶圆中的纳米特性。

出版时间

2016-03-01

已索引

文献类型

Article

摘要

Understanding the transport of liquid hydrocarbon through nanopores of inorganic minerals is crucial not only to develop liquid-rich shale reservoirs, but also to grasp oil migration from deeply buried extremely low permeability source rocks. We report a molecular study of liquid hydrocarbon (octane) flow through inorganic (quartz) nanopores ranging in size from 1.7 to 11.2 nm.

冯其红: 中国石油大学(华东)石油工程学院油气藏工程研究所教授

of octane and conclude that in the diffusion coefficient, and viscosity, ly. Then we use nonequilibrium present two methods to characterize

the behavior: (1) slip length coupled with effective viscosity and (2) apparent viscosity. The Navier-Stokes equation can reasonably

引文网络

引文网络

来自 Web of Science 核心合集

310 被引频次

高被引论文

创建引文跟踪

350 被引频次 所有数据库

+ 查看更多的被引频次

查看施引预印本

91 篇引用的参考文献

查看相关记录

与同行文献相比, 该文献的引用表现如何?

打开比较指标面板

相较于同行文献的表现

利用引文网络梳理课题发展：借助施引文献越查越新

S·F·X 出版商处的全文  导出  添加到标记结果列表  < 1 / 1 >

Molecular dynamics simulations of oil transport through inorganic nanopores in shale

作者 Wang, S (Wang, Sen) [1], [2]; Javadpour, F (Javadpour, Farzam) [1]; Feng, QH (Feng, Qihong) [2]

[查看 Web of Science ResearcherID 和 ORCID](#) (由 Clarivate 提供)

来源出版物

FUEL

卷: 171 页: 74-86

DOI: 10.1016/j.fuel.2015.12.071

出版时间

MAY 1 2016

已索引

2016-03-01

文献类型

Article

摘要

Understanding the transport of liquid hydrocarbon through nanopores of inorganic minerals is crucial not only to develop liquid-rich shale reservoirs, but also to grasp oil migration from deeply buried extremely low permeability source rocks. We report a molecular study of liquid hydrocarbon (octane) flow through inorganic (quartz) nanopores ranging in size from 1.7 to 11.2 nm. Through equilibrium molecular dynamics (EMD), we observe the layering structure of confined octane and conclude that in the center of slits having apertures greater than 3.6 nm, the octane properties, e.g., density, self-diffusion coefficient, and viscosity, tend to be bulk-liquid-like. Near the solid-liquid interface, octane molecules diffuse more slowly. Then we use nonequilibrium molecular dynamics (NEMD) to study the pressure-driven flow of octane in quartz slits and present two methods to characterize the behavior: (1) slip length coupled with effective viscosity and (2) apparent viscosity. The Navier-Stokes equation can reasonably

引文网络

来自 Web of Science 核心合集

310 被引频次

 高被引论文

施引文献

 创建引文跟踪

350 被引频次 所有数据库

+ 查看更多的被引频次

 查看施引预印本

91 篇引用的参考文献

[查看相关记录](#) →

与同行文献相比，该文献的引用表现如何？

 打开比较指标面板



数据来自 WoS ResearcherID & ORCID

利用引文网络梳理课题发展：借助施引文献越查越新

310 条施引文献:

此检索内容的引文: Molecular dynamics simulations of oil transport through inorganic nanopores in shale

分析检索结果

引文报告

复制检索式链接

精炼检索结果

在结果中检索...



快速过滤

- 高被引论文 6
- 综述论文 20
- 在线发表 5
- 开放获取 103
- 被引参考文献深度分析 82

出版年

- Show Final Publication Year
- 2024 19
 - 2023 50
 - 2022 50

0/310

添加到标记结果列表

导出

排序方式: 被引频次: 最高优先

1 / 7

1

A review of the current progress of CO₂ injection EOR and carbon storage in shale oil r



页岩油藏注二氧化碳提高采收率及储碳研究进展综述



CO₂ injection is a promising method to rejuvenate the shale oil reservoirs after the primary production. In this review, we summarize the current progress of CO₂ injection enhanced oil recovery (EOR) and carbon storage related literature in shales over the past decade. We provide a description of major shale reservoirs producing oil and the necessity to perform EOR, selection of inject

出版商处的全文

- 相关性
- 最近添加
- New 引文类别
- 日期: 降序
- 日期: 升序
- 被引频次: 最高优先
- 被引频次: 最低优先
- 使用次数 (所有时间): 最多优先
- 使用次数 (最近 180 天): 最多优先
- 会议标题: 升序
- 会议标题: 降序
- 第一作者姓名: 升序
- 第一作者姓名: 降序
- 出版物标题: 升序
- 出版物标题: 降序

380

被引频次

166

参考文献

相关记录 ?

2

Advancing CO₂-enhanced oil recovery and storage in unconventional oil play: Experimental studies on Bakken shales



推进非常规油区二氧化碳提高采收率和储油——巴肯页岩实验研究

169

被引频次

86

7

?

利用引文网络梳理课题发展：利用参考文献了解前序研究基础

S·F·X 出版商处的全文  导出  添加到标记结果列表  < 1 / 1 >

Molecular dynamics simulations of oil transport through inorganic nanopores in shale

作者 Wang, S (Wang, Sen) ^{[1], [2]}; Javadpour, F (Javadpour, Farzam) ^[1]; Feng, QH (Feng, Qihong) ^[2]

[查看 Web of Science ResearcherID 和 ORCID](#) (由 Clarivate 提供)

来源出版物

FUEL

卷: 171 页: 74-86

DOI: 10.1016/j.fuel.2015.12.071

出版时间

MAY 1 2016

已索引

2016-03-01

文献类型

Article

摘要

Understanding the transport of liquid hydrocarbon through nanopores of inorganic minerals is crucial not only to develop liquid-rich shale reservoirs, but also to grasp oil migration from deeply buried extremely low permeability source rocks. We report a molecular study of liquid hydrocarbon (octane) flow through inorganic (quartz) nanopores ranging in size from 1.7 to 11.2 nm. Through equilibrium molecular dynamics (EMD), we observe the layering structure of confined octane and conclude that in the center of slits having apertures greater than 3.6 nm, the octane properties, e.g., density, self-diffusion coefficient, and viscosity, tend to be bulk-liquid-like. Near the solid-liquid interface, octane molecules diffuse more slowly. Then we use nonequilibrium molecular dynamics (NEMD) to study the pressure-driven flow of octane in quartz slits and present two methods to characterize the behavior: (1) slip length coupled with effective viscosity and (2) apparent viscosity. The Navier-Stokes equation can reasonably

引文网络

来自 Web of Science 核心合集

310 被引频次

 高被引论文

 [创建引文跟踪](#)

350 被引频次 所有数据库

+ [查看更多的被引频次](#)

 [查看施引预印本](#)

91 篇引用的参考文献

[查看相关记录](#) →

参考文献

与同行文献相比，该文献的引用表现如何？

 [打开比较指标面板](#)



数据来自 CrossRef, Scopus, and other sources

利用引文网络梳理课题发展：利用参考文献了解前序研究基础

显示 30 / 91

(来自 Web of Science 核心合集)

1 Predicting the viscosity of alkanes using nonequilibrium molecular dynamics: Evaluation of intermolecular potential models

[Allen, W](#) and [Rowley, RL](#)

Jun 22 1997 | JOURNAL OF CHEMICAL PHYSICS 106

用非平衡分子动力学预测烷烃的粘度:分子间势模型的评价

 [知识库中的免费已发表文章](#) [出版商处的全文](#) ... [View PDF with EndNote Click](#)

72

被引频次

31

参考文献

[相关记录](#) 

2 Structural and rheological properties of *n*-decane confined between graphite surfaces

[Balasundaram, R](#); [Jiang, SY](#) and [Belak, J](#)

Jul 1999 | CHEMICAL ENGINEERING JOURNAL 74 (1-2), pp.117-127

石墨表面间正癸烷的结构和流变性能

 [出版商处的全文](#) ...

25

被引频次

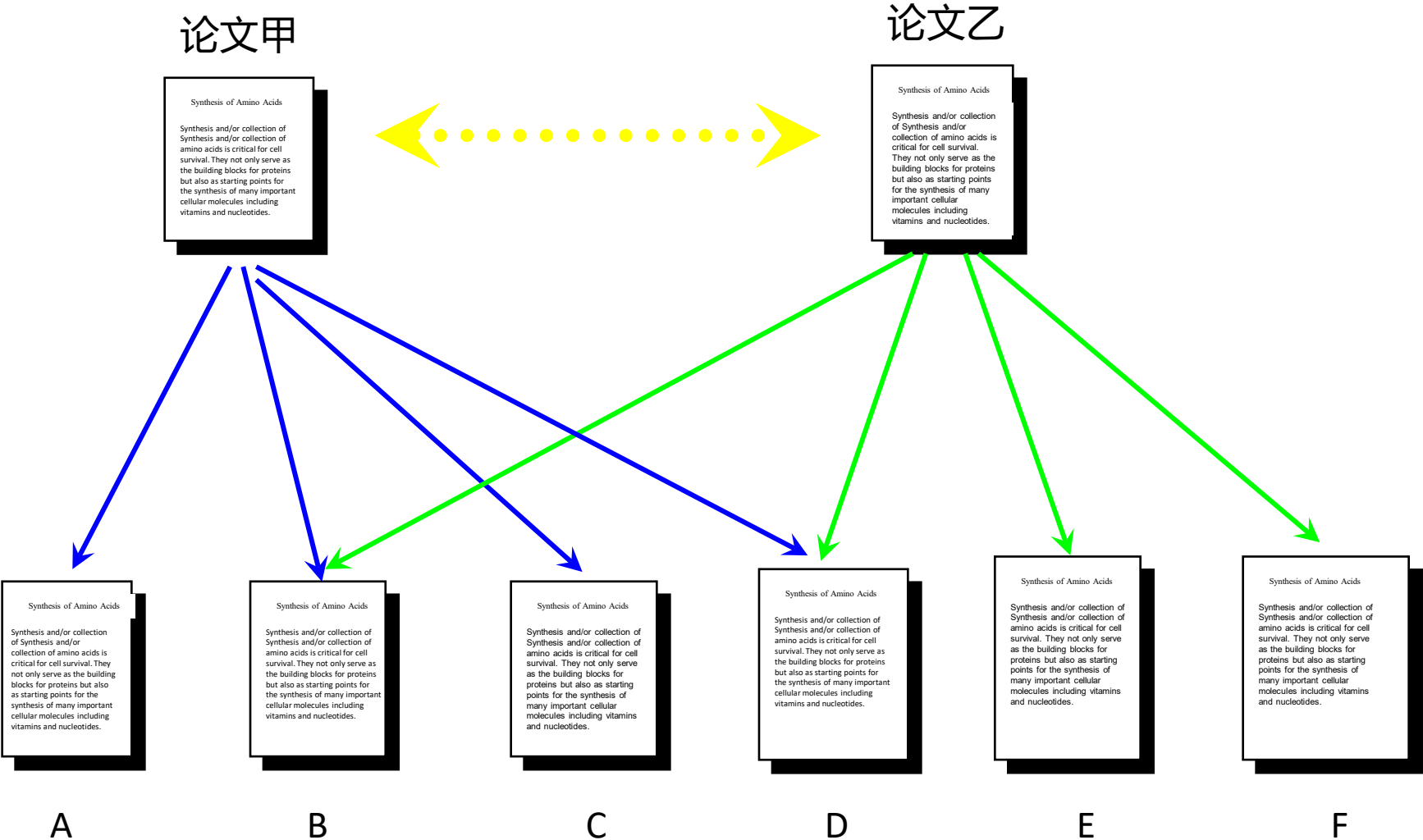
54

参考文献

[相关记录](#)

利用引文网络梳理课题发展：利用**相关记录**了解潜在的交叉研究

相关记录：拥有共同参考文献的文献



利用引文网络梳理课题发展：利用**相关记录**了解潜在的交叉研究

Molecular dynamics simulations of oil transport through inorganic nanopores in shale

作者 Wang, S (Wang, Sen) ^{[1], [2]}; Javadpour, F (Javadpour, Farzam) ^[1]; Feng, QH (Feng, Qihong) ^[2]

[查看 Web of Science ResearcherID 和 ORCID](#) (由 Clarivate 提供)

来源出版物

FUEL

卷: 171 页: 74-86

DOI: 10.1016/j.fuel.2015.12.071

出版时间

MAY 1 2016

已索引

2016-03-01

文献类型

Article

摘要

Understanding the transport of liquid hydrocarbon through nanopores of inorganic minerals is crucial not only to develop liquid-rich shale reservoirs, but also to grasp oil migration from deeply buried extremely low permeability source rocks. We report a molecular study of liquid hydrocarbon (octane) flow through inorganic (quartz) nanopores ranging in size from 1.7 to 11.2 nm. Through equilibrium molecular dynamics (EMD), we observe the layering structure of confined octane and conclude that in the center of slits having apertures greater than 3.6 nm, the octane properties, e.g., density, self-diffusion coefficient, and viscosity, tend to be bulk-liquid-like. Near the solid-liquid interface, octane molecules diffuse more slowly. Then we use nonequilibrium molecular dynamics (NEMD) to study the pressure-driven flow of octane in quartz slits and present two methods to characterize the behavior: (1) slip length coupled with effective viscosity and (2) apparent viscosity. The Navier-Stokes equation can reasonably

引文网络

来自 Web of Science 核心合集

310 被引频次

 高被引论文

 [创建引文跟踪](#)

350 被引频次 所有数据库

+ [查看更多的被引频次](#)

 [查看施引预印本](#)

91 篇引用的参考文献

[查看相关记录](#) →

[查看相关记录](#)

与同行文献相比，该文献的引用表现如何？

 [打开比较指标面板](#)



利用引文网络梳理课题发展：利用**相关记录**了解潜在的交叉研究

52,087 条相关结果:

精炼检索结果

在结果中检索...

快速过滤

- 高被引论文 522
- 热点论文 12
- 综述论文 1,881
- 在线发表 428
- 开放获取 19,835
- 相关数据 316
- 被引参考文献深度分析 9,126
- 公开出版商 - 受邀审阅 21

出版年

Show Final Publication Year

- 2024 1,108
- 2023 4,656
- 2022 5,292
- 2021 5,883
- 2020 5,091

全部查看 >

文献类型

- 论文 48,323
- 会议录论文 2,428
- 综述论文 1,881
- 书籍章节 467
- 在线发表 428

全部查看 >

0/52,087

添加到标记结果列表

导出

排序方式: 相关性

1 / 1,042

1 Fast mass transport of oil and supercritical carbon dioxide through organic nanopores in shale

Wang, S; Javadpour, F and Feng, QH

页岩有机纳米孔中石油和超临界二氧化碳的快速质量运输

Hydrocarbon production from shale has grown dramatically in North America, and has the potential to do so globally. Nanoporous organic matter is probably the dominant mode of porosity occurrence in productive shale systems, but the physics of liquid transport through organic-hosted pores is still ambiguous. In the present work, molecular dynamics simulations were conducted to study the static p ... 显示更多

出版商处的全文

114

被引频次

77

参考文献

(28 共享)

相关记录 ?

共同引用的参考文献: 28

2 Multiscale Modeling of Gas Transport in Shale Matrix: An Integrated Study of Molecular Dynamics and Rigid-Pore-Network Model

页岩基质中气体运输的多尺度建模：分子动力学和刚性孔隙网络模型的综合研究

most concentrate only on the permeability of shale kerogen. Shales, however, are composed of various proportions of organic matter and inorganic minerals (e.g., calcite and clay). Inorganic pores are larger than organic pores, thus affecting apparent pe ... 显示更多

查看全文

74

被引频次

104

参考文献

(18 共享)

相关记录

共同引用的参考文献: 18

3 Molecular simulations of oil adsorption and transport behavior in inorganic shale

Sui, HG; Zhang, FY; (...); Wang, YD

May 1 2020 | JOURNAL OF MOLECULAR LIQUIDS 305

无机页岩中石油吸附与运输行为的分子模拟

unique hydrocarbon through nanopores of inorganic minerals is crucial not only to develop liquid methane reservoirs, but also to grasp migration from deeply buried extremely low permeability source rocks. In this work, the adsorption an ... 显示更多

查看全文

51

被引频次

88

参考文献

(17 共享)

相关记录

共同引用的参考文献: 17

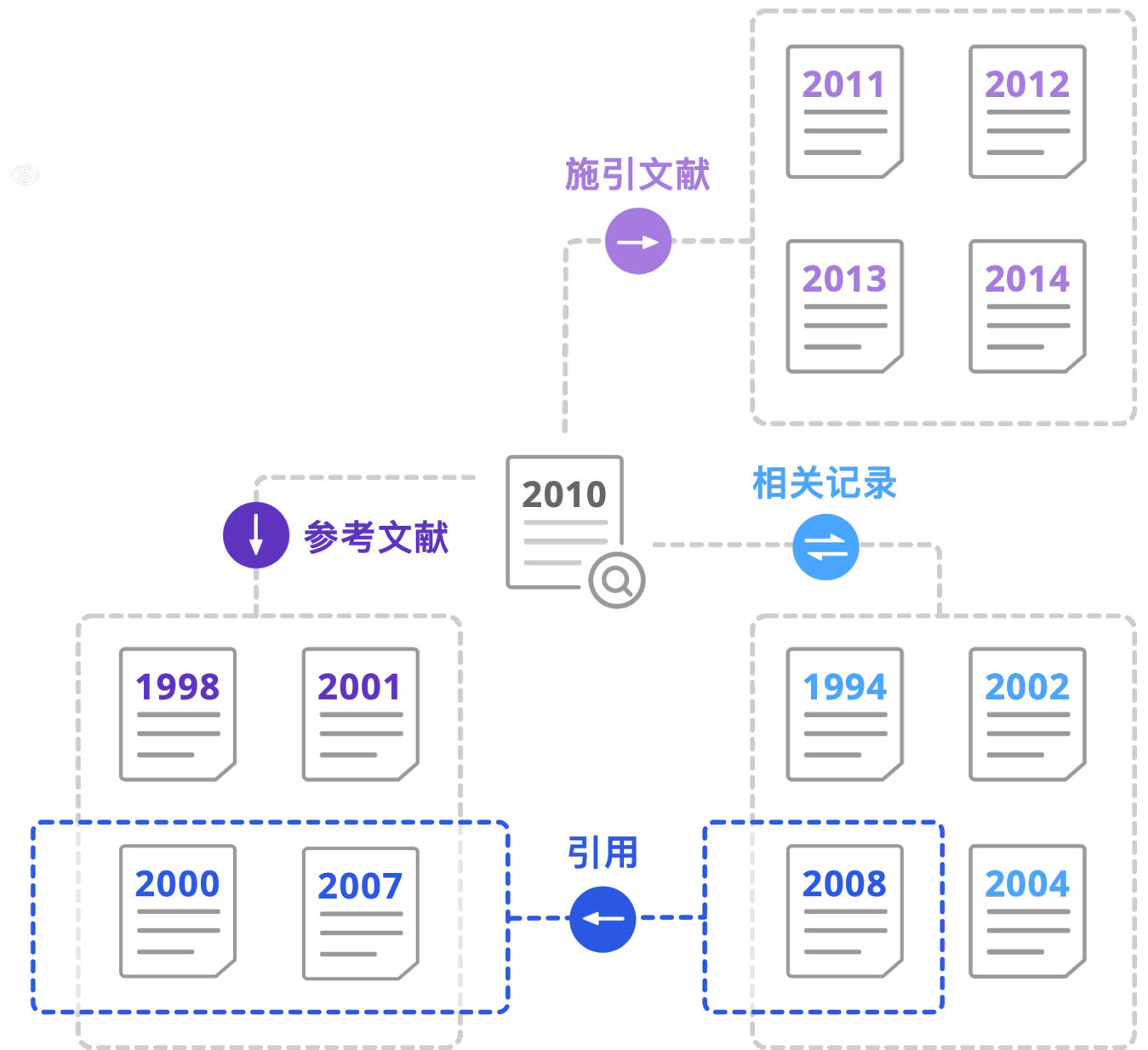


Dr. Eugene Garfield

(1925. 9.16-2017.2.26)

美国情报学家和科学计量学家

美国科学信息研究所创始人



聚焦ESI高被引论文/热点论文

2,371 条来自 Web of Science 核心合集的结果:

分析检索结果 引文报告 创建跟踪服务

TS=(("low permeability") AND rock) AND PY=(2014-2024)

检索

添加关键词 快速添加关键词: LOW-PERMEABILITY SANDSTONE LOW PERMEABILITY RESERVOIR LOW-PERMEABILITY RESERVOIR CHARACTERISTICS LOW-PERMEAB

出版物 您可能也想要... 复制检索式链接

精炼检索结果

在结果中检索...

快速过滤

- 高被引论文 12
- 热点论文 1
- 综述论文 66
- 在线发表 20
- 开放获取 984
- 相关数据 14
- 被引参考文献深度分析 457
- 公开出版商 - 受邀审阅 6

0/2,371 添加到标记结果列表 导出

排序方式: 被引频次: 最高优先 1 / 48

1 Natural fractures in shale: A review and new observations
Gale, JFW; Laubach, SE; (...); Fall, A
Nov 2014 | AAPG BULLETIN 98 (11), pp.2165-2216
645 被引频次
253 参考文献
Natural fractures have long been suspected as a factor in production from shale reservoirs because gas and oil production commonly exceeds the rates expected from low-porosity and low-permeability shale host rock. Many shale outcrops, cores, and image logs contain fractures or fracture traces, and microseismic event patterns associated with hydraulic-fracture stimulation have been ascribed to n ... 显示更多
出版商处的全文

2 Maximum magnitude earthquakes induced by fluid injection
444



高被引论文

近10年发表, 同学科、同出版年10年间的被引次数排在全球前1%的论文。



热点论文

近2年发表, 在最近2个月中被引次数进入同出版年、同学科0.1%的论文。

论文被关注程度：使用次数

2,371 条来自 Web of Science 核心合集的结果: 分析检索结果 引文报告 创建跟踪服务

TS=(("low permeability") AND rock) AND PY=(2014-2024) 检索

添加关键词 快速添加关键词: + LOW-PERMEABILITY SANDSTONE + LOW PERMEABILITY RESERVOIR + LOW-PERMEABILITY + RESERVOIR CHARACTERISTICS + LOW-PERMEAB

出版物 您可能也想要... 复制检索式链接

精炼检索结果

在结果中检索...

快速过滤

- 高被引论文 12
- 热点论文 1
- 综述论文 66
- 在线发表 20
- 开放获取 984
- 相关数据 14
- 被引参考文献深度分析 457
- 公开出版商 - 受邀审阅 6

0/2,371 添加到标记结果列表 导出 排序方式: 被引频次: 最高优先 < 1 / 48 >

相关性
最近添加
New 引文类别
日期: 降序 次
日期: 升序
被引频次: 最高优先 献
被引频次: 最低优先
使用次数 (所有时间): 最多优先
使用次数 (最近 180 天): 最多优先 录 ?
会议标题: 升序
会议标题: 降序
第一作者姓名: 升序
第一作者姓名: 降序
出版物标题: 升序
出版物标题: 降序

1 **Natural fractures in shale: A review and new observations**
Gale, JFW; Laubach, SE; (...); Fall, A
Nov 2014 | AAPG BULLETIN 98 (11), pp.2165-2216
Natural fractures have long been suspected as a factor in production from shale reservoirs because gas and oil production is expected from low-porosity and low-permeability shale host rock. Many shale outcrops, cores, and image logs contain microseismic event patterns associated with hydraulic-fracture stimulation have been ascribed to n
出版商处的全文

2 **Maximum magnitude earthquakes induced by fluid injection**

文献级别用量指标：使用次数

对某条记录的**全文链接得到访问**或是对记录进行**保存**的次数

“使用次数-最近180天”

“使用次数-所有时间”

使用次数 (所有时间): 最多优先

使用次数 (最近 180 天): 最多优先

用户行为

最受关注的文献



访问量



保存次数

- 使用次数记录的是**全体 Web of Science 用户**进行的所有操作，而不仅仅限于您所属机构中的用户。
- 使用次数**每天更新**一次。

最近半年受关注程度较高的文献--使用次数（最近180天）：最高优先

精炼检索结果

在结果中检索...

快速过滤

- 高被引论文 12
- 热点论文 1
- 综述论文 66
- 在线发表 20
- 开放获取 984
- 相关数据 14
- 被引参考文献深度分析 457
- 公开出版商 - 受邀审阅 6

出版年

Show Final Publication Year

- 2024 73
- 2023 289
- 2022 285
- 2021 279
- 2020 279

[全部查看 >](#)

文献类型

- 论文 2,197
- 会议录论文 148
- 综述论文 66
- 书籍章节 24
- 在线发表 20

[全部查看 >](#)

0/2,371 [添加到标记结果列表](#) [导出](#) 排序方式 **排序方式: 使用次数 (最近 180 天): 最多优先** < 1 / 48 >

1 **Study on Damage Characteristics of Hot Dry Rock by Liquid Nitrogen Cyclic Cold Shocks Based on Ultrasonic Testing**
[Lai, YS; Zhai, C; \(...\); Huang, J](#)

基于超声检测的液氮循环冷冲击对干热岩石损伤特性的研究

被引参考文献深度分析

Efficient exploitation of hot dry rock resources can alleviate global energy supply pressure. However, the "low-porosity, low-permeability" occurrence characteristics of hot dry rock severely restrict the exploitation efficiency. To achieve efficient exploitation of hot dry rock resources, artificial fracturing and permeability-enhancing measures must be taken to transform the reservoir and imp ... [显示更多](#)

[出版商处的全文](#) ...

1 被引频次
54 参考文献
[相关记录 ?](#)

2 **Supercritical Carbon Dioxide Utilization for Hydraulic Fracturing of Shale Reservoir, and Geo-Storage: A Review**
[Gupta, N and Verma, A](#)

超临界二氧化碳在页岩储层水力压裂及储层中的应用研究进展

Hydraulic fracturing has completely revolutionized how shale resources are exploited to extract hydrocarbons. However, sustainability and environmental issues have fueled the desire for alternate fracturing technologies. Supercritical carbon dioxide (Sc-CO2) fracturing is a new method that uses high-pressure, high-temperature CO2 in its supercritical state (7.38 MPa and 31.1 degrees C) to genera ... [显示更多](#)

[出版商处的全文](#) ...

1 被引频次
172 参考文献
[相关记录](#)

3 **Creep-fatigue mechanical characteristics of salt rocks under triaxial loading: An experimental study**

三轴载荷作用下盐岩蠕变疲劳力学特性试验研究

Salt rock is a sedimentary rock that is widely distributed in the crust. Since salt rock has a low permeability, rheological behavior, and self-healing characteristics, it has been extensively exploited for subsurface energy storage and waste disposal. The construction of compressed air energy storage (CAES) facilities using salt caverns for solution mining is a practical solution to achieve ca ... [显示更多](#)

[出版商处的全文](#) ...

6 被引频次
53 参考文献

划重点：快速锁定心仪的文献



被引频次

已发表的某篇论文被其他论文引用的历史总次数。帮助筛选研究领域内的经典文献。



ESI高被引论文/热点论文

包括**高被引论文**（过去10年中发表的论文，被引频次在同年同学科中进入全球前1%）和**热点论文**（过去2年中发表的论文，被引频次在同年同学科中进入全球前0.1%）。帮助筛选研究领域内的更有价值文献。



使用次数

包括**所有时间**和**最近180天**。反映了某篇论文满足用户信息需要的次数。是所有WoS用户活动的记录，数据每天更新。帮助筛选研究领域内的更频繁使用文献。



日期

根据论文在期刊上的出版日期进行排序。帮助筛选研究领域内的最新文献。



全方位分析已有信息，把握课题发展方向和趋势

利用Web of Science检索需要的数据及信息

举例：低渗储层岩石物理性质

一体化总览低渗储层研究领域成果——创建引文报告

分析检索结果

创建引文报告

2,371 条来自 Web of Science 核心合集的结果:

分析检索结果

引文报告

创建跟踪服务

TS=(("low permeability") AND rock) AND PY=(2014-2024)

检索

添加关键词

快速添加关键词:

+ LOW-PERMEABILITY SANDSTONE

+ LOW PERMEABILITY RESERVOIR

+ LOW-PERMEABILITY

+ RESERVOIR CHARACTERISTICS

+ LOW-PERMEAB

出版物

您可能也想要...

复制检索式链接

精炼检索结果

在结果中检索...



快速过滤

- 高被引论文 12
- 热点论文 1
- 综述论文 66
- 在线发表 20
- 开放获取 984
- 相关数据 14
- 被引参考文献深度分析 457
- 公开出版商 - 受邀审阅 6

0/2,371

添加到标记结果列表

导出

排序方式: 被引频次: 最高优先

1 / 48

1 Natural fractures in shale: A review and new observations



Gale, JFW; Laubach, SE; (...); Fall, A



Nov 2014 | AAPG BULLETIN 98 (11), pp.2165-2216

Natural fractures have long been suspected as a factor in production from shale reservoirs because gas and oil production commonly exceeds the rates expected from low-porosity and low-permeability shale host rock. Many shale outcrops, cores, and image logs contain fractures or fracture traces, and microseismic event patterns associated with hydraulic-fracture stimulation have been ascribed to

... 显示更多

出版商处的全文

645

被引频次

253

参考文献

相关记录

2 Maximum magnitude earthquakes induced by fluid injection

444

1. 通过创建“引文报告”纵览该领域研究态势

2. 通过“分析检索结果”，了解该领域国内外研究现状、主要学者、主要研究机构等信息。

引文报告：纵览领域发展态势

出版物

2,371

合计

来自 1900 至 2024

施引文献

25,196 分析

合计

24,255 分析

去除自引

被引频次

34,727

合计

32,917

去除自引

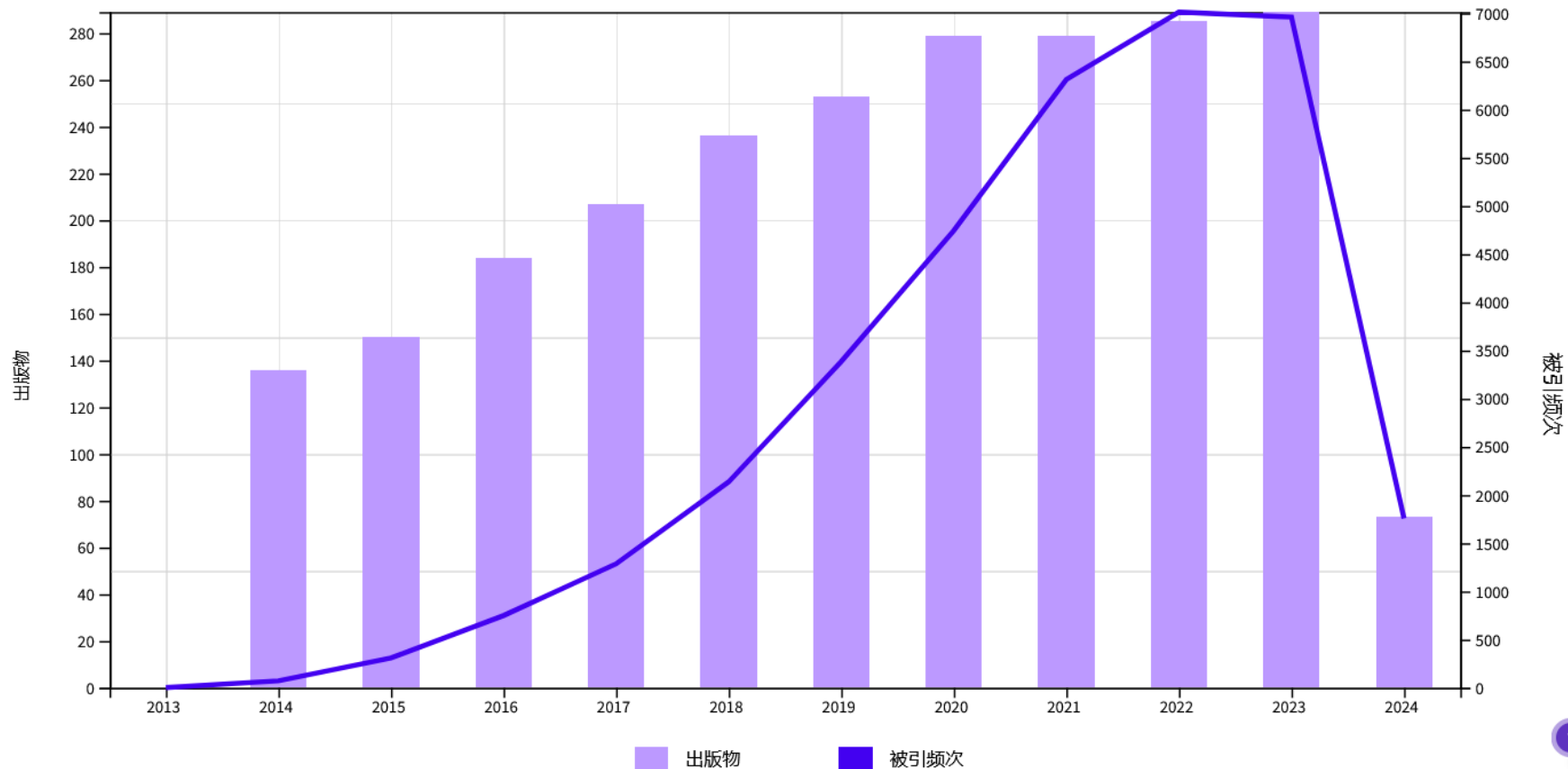
14.65

篇均被引频次

70

h-index

1. 该领域文献量持续增加
2. 该领域文献收到持续关注
3. 该领域2,000多篇文献被来自于超过24,000篇文献，共计引用超过了34,000多次
4. 该领域H-Index为70

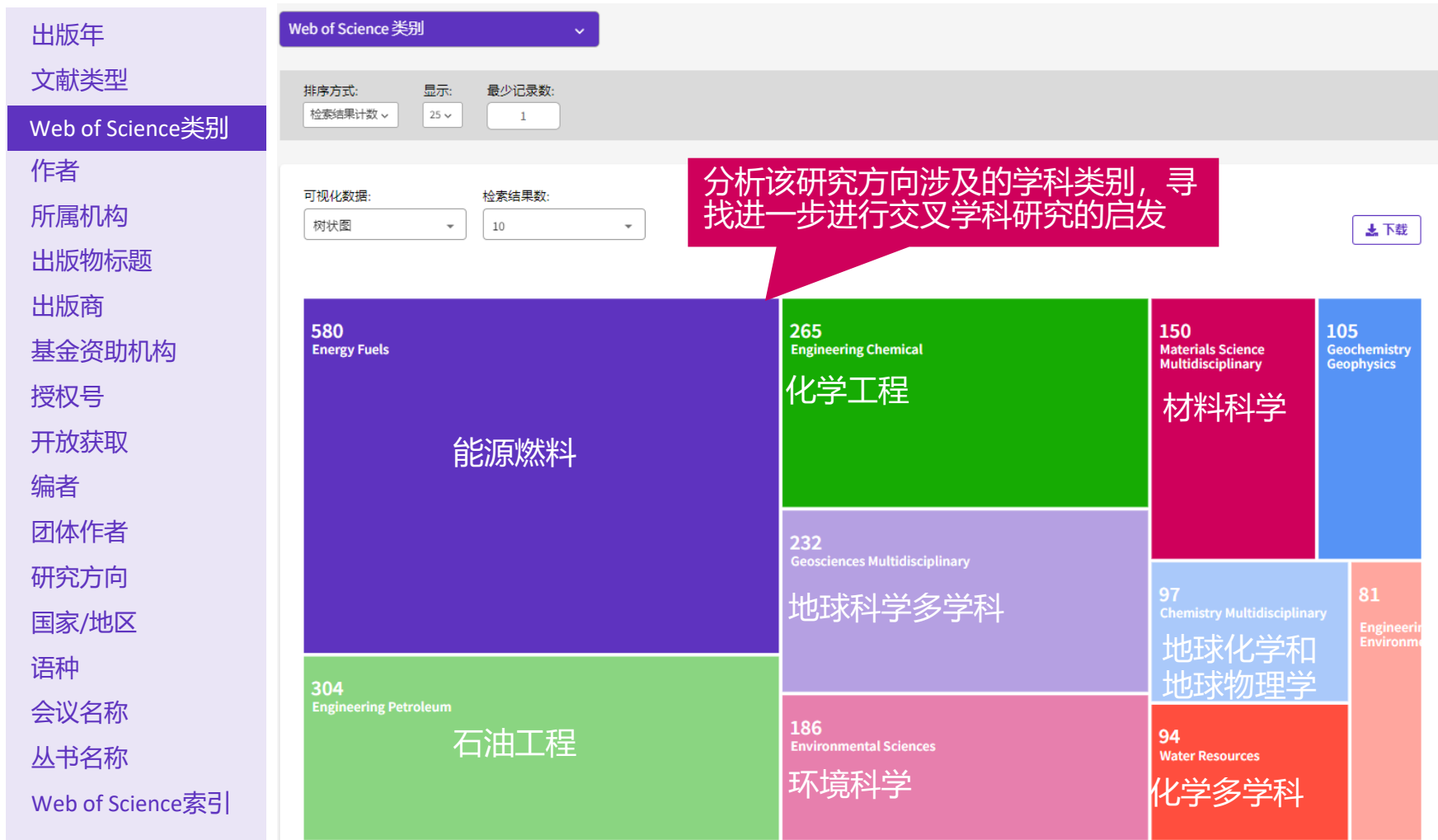


利用Web of Science检索需要的数据及信息

举例：低渗储层岩石物理性质

全方位审视低渗储层领域当前研究成果——分析检索结果

1. 通过创建“引文报告”纵览该领域研究态势
2. 通过“分析检索结果”，了解该领域国内外研究现状、主要学者、主要研究机构等信息。

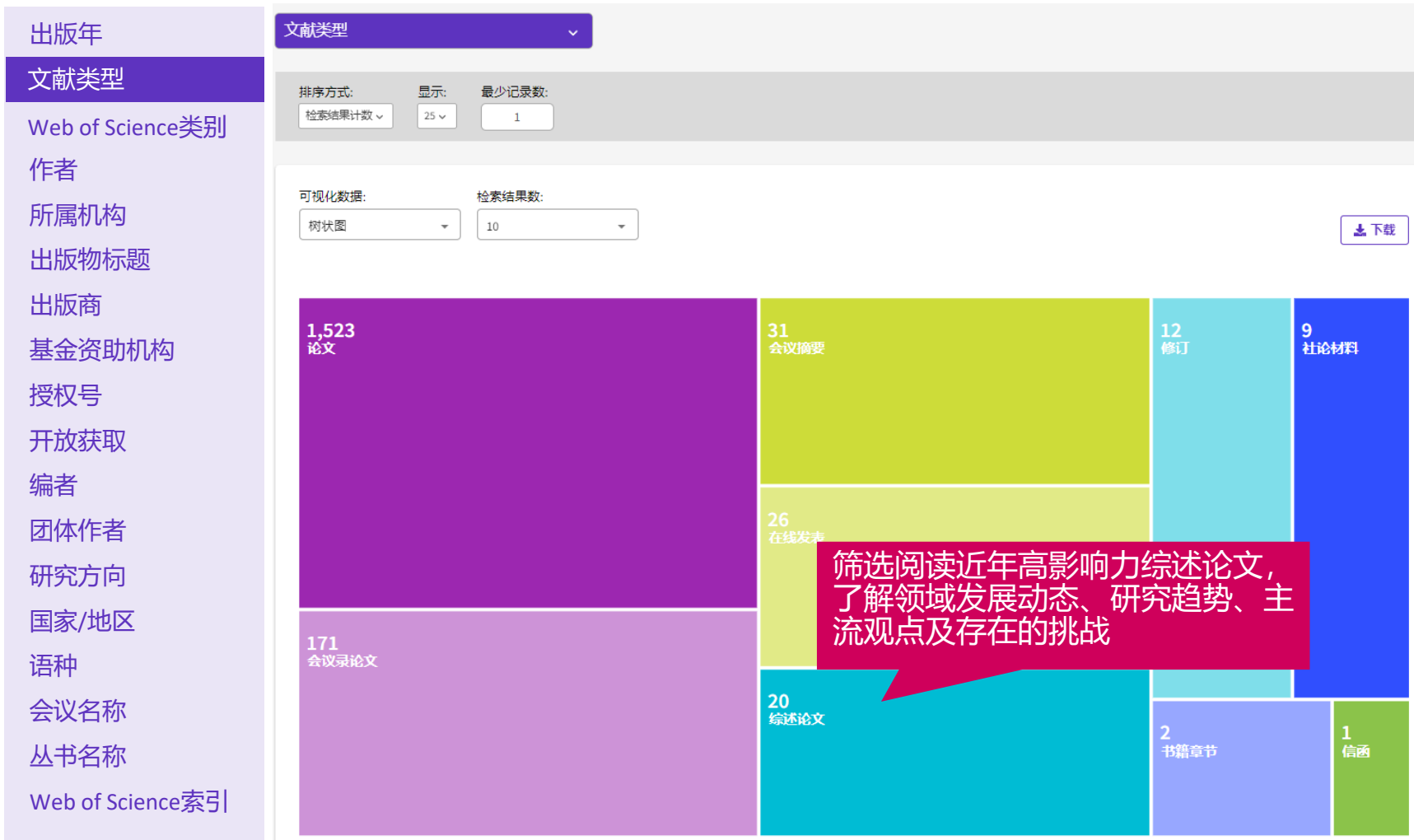


利用Web of Science检索需要的数据及信息

举例：低渗储层岩石物理性质

从综述了解研究趋势和主流观点

1. 通过创建“引文报告”纵览该领域研究态势
2. 通过“分析检索结果”，了解该领域国内外研究现状、主要学者、主要研究机构等信息。



利用Web of Science检索需要的数据及信息

举例：低渗储层岩石物理性质 分析主要研究机构，了解国内外研究差异

1. 通过创建“引文报告”纵览该领域研究态势
2. 通过“分析检索结果”，了解该领域国内外研究现状、主要学者、主要研究机构等信息。

所属机构

排序方式: 显示: 最少记录数: 检索结果计数 25 1

可视化数据: 检索结果数: 树状图 10

来自中国的科研机构在该研究领域的发文占有主要优势

所属机构	数量
中国石油大学	312
中国石化	120
东北石油大学	83
西安石油大学	77
中国地质大学	88
中国科学院	61
中国矿业大学	52
西南石油大学	85
长江大学	49
中国石油天然气集团公司	228

Web of Science索引



利用Web of Science检索需要的数据及信息

举例：低渗储层岩石物理性质 分析领域内主要研究人员

1. 通过创建“引文报告”纵览该领域研究态势
2. 通过“分析检索结果”，了解该领域国内外研究现状、主要学者、主要研究机构等信息。

作者

排序方式: 检索结果计数 | 显示: 25 | 最少记录数: 1

可视化数据: 树状图 | 检索结果数: 10

该研究领域的主要发文作者

下载

作者	数量
Hou, Ji-Rui	14
Li, Zhaomin	10
You, Qing	10
Dai, Caili	9
Zhang, Zhongzhi	9
Pu, Chunsheng	9
Yang, Zhengming	13
Wei, Jianguang	10
Zhang, Chengli	8
Liang, Tianbo	8



利用Web of Science检索需要的数据及信息

举例：低渗储层岩石物理性质 分析国内外主要资助基金

1. 通过创建“引文报告”纵览该领域研究态势
2. 通过“分析检索结果”，了解该领域国内外研究现状、主要学者、主要研究机构等信息。



字段: 基金资助机构	记录数
National Natural Science Foundation Of China Nsf	581
Fundamental Research Funds For The Central Universities	105
China Postdoctoral Science Foundation	56
National Science And Technology Major Project	45
China Scholarship Council	35
National Basic Research Program Of China	34
National Key Research And Development Program Of China	32
Natural Science Foundation Of Shandong Province	27
Natural Sciences And Engineering Research Council Of Canada Nserc	27
Science Foundation Of China University Of Petroleum Beijing	24
National Science And Technology Major Project Of China	22
United States Department Of Energy Doe	21

分析国内外主要资助基金，寻找更多国内外基金资助来源

利用Web of Science检索需要的数据及信息

举例：低渗储层岩石物理性质

分析低渗储层领域相关学术会议，规划国际交流

1. 通过创建“引文报告”纵览该领域研究态势

2. 通过“分析检索结果”，了解该领域国内外研究现状、主要学者、主要研究机构等信息。

出版年
文献类型
Web of Science类别
作者
所属机构
出版物标题
出版商
基金资助机构
授权号
开放获取
编者
团体作者
研究方向
国家/地区
语种
会议名称
丛书名称
Web of Science索引

会议名称

排序方式: 显示: 最少记录数:
检索结果计数 25 1

可视化数据: 检索结果数:
树状图 10

下载

数量	会议名称
10	7TH INTERNATIONAL FIELD EXPLORATION AND DEVELOPMENT CONFERENCE IFEDC 油气田勘探与开发国际会议
8	3RD INTERNATIONAL CONFERENCE ON ENERGY ENVIRONMENT AND SUSTAINABLE DEVELOPMENT EESD 2013 能源、环境与可持续发展国际学术会议
4	INTERNATIONAL CONFERENCE ON MECHATRONICS ENGINEERING AND COMPUTING TECHNOLOGY ICMECT
3	INTERNATIONAL CONFERENCE ON ENERGY EQUIPMENT SCIENCE AND ENGINEERING ICEESE
3	4TH INTERNATIONAL CONFERENCE ON ENERGY AND ENVIRONMENTAL PROTECTION ICEEP
3	6TH BIOT CONFERENCE ON POROMECHANICS
2	13TH INTERNATIONAL CONFERENCE ON GREENHOUSE GAS CONTROL TECHNOLOGIES GHGT
2	25TH NATIONAL MEETING AND EXPOSITION OF THE AMERICAN CHEMICAL SOCIETY ACS NEXUS OF FOOD ENERGY AND WATER
2	2ND INTERNATIONAL CONFERENCE ON ENERGY ENGINEERING AND ENVIRONMENTAL PROTECTION EEEP
2	2ND INTERNATIONAL CONFERENCE ON RENEWABLE ENERGY AND ENVIRONMENTAL TECHNOLOGY REET



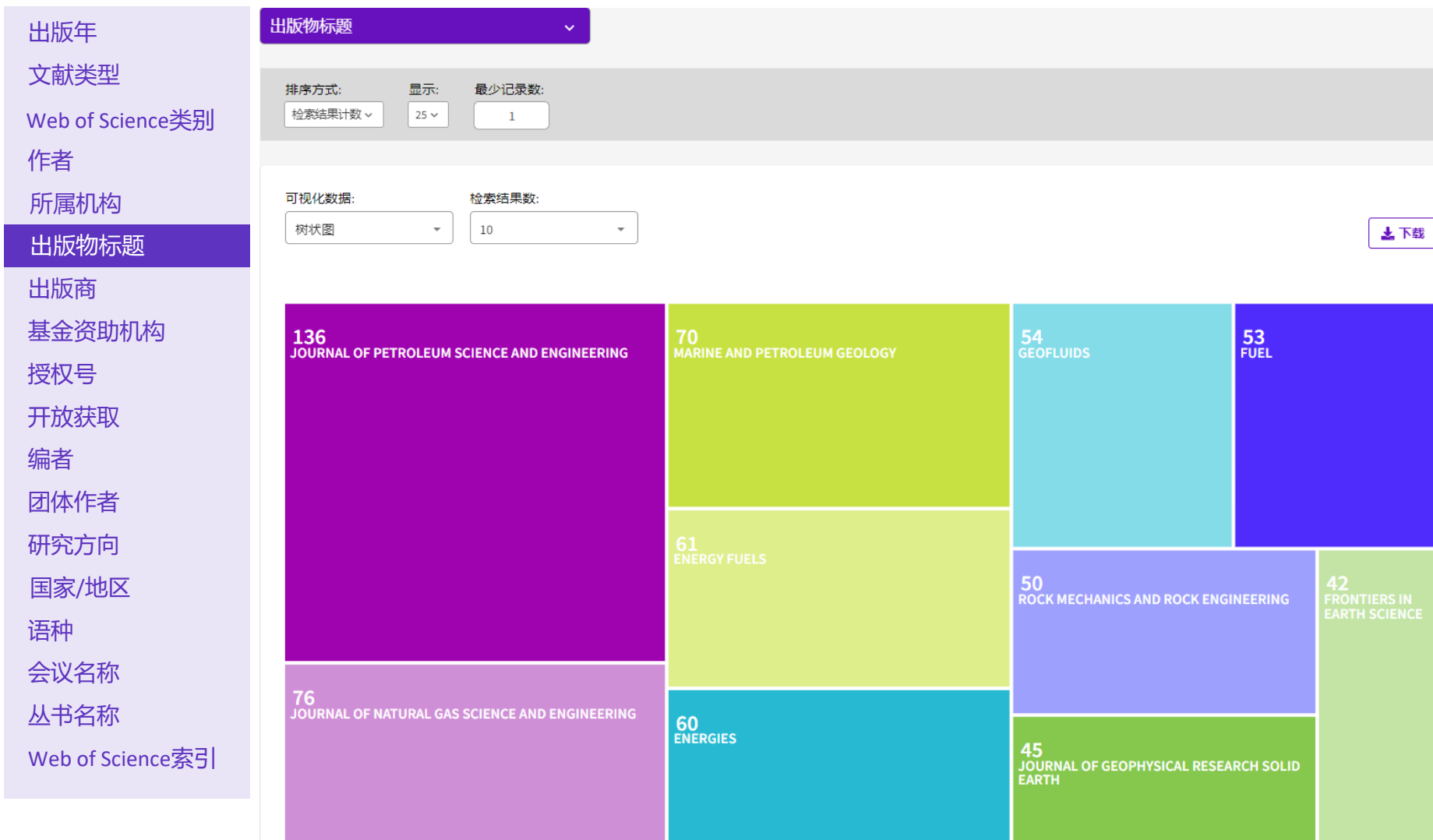
数据分析选择合适的期刊

举例：低渗储层岩石物理性质

分析低渗储层领域论文发表期刊



- 利用Web of Science分析论文发表期刊：出版物标题



举例：低渗储层岩石物理性质

分析低渗储层领域论文发表期刊

- 利用Web of Science 分析论文发表期刊：出版物标题

136 条来自 Web of Science 核心合集的结果:

TS=(("low permeability") AND rock) AND PY=(2014-2024) [复制检索式链接](#)

+ 添加关键词 快速添加关键词: < + matrix acidizing + low permeability reservoirs + stress sensitivity + tight sandstone + formation damage + spontan >

精炼依据: 出版物标题: JOURNAL OF PETROLEUM SCIENCE AND ENGINEERING X 全部清除

136 documents 您可能也想要... [分析检索结果](#) [引文报告](#) [创建跟踪服务](#)

精炼检索结果 [Export Refine](#) 0/136 [添加到标记结果列表](#) [导出](#) 排序方式: 日期: 降序 < 1 / 3 >

在结果中检索...

快速过滤

- 高被引论文 1
- 综述论文 3
- 开放获取 18
- 被引参考文献深度分析 6

出版年 ^

显示最终出版年

- 2022 18
- 2021 26
- 2020 23
- 2019 18
- 2018 17

[全部查看 >](#)

文献类型 ^

...

1 **Evaluation of low permeability conglomerate reservoirs based on petrophysical facies: A case study from the Triassic Baikouquan Formation, northern Mahu Sag, Junggar Basin, China** 10 被引频次 32 参考文献

Yu, ZC; Wang, ZZ; (...); Baffour, BA
Dec 2022 | JOURNAL OF PETROLEUM SCIENCE AND ENGINEERING 219

The determination of high-quality intervals in oil reservoirs has always been challenging work while their petrophysical attributes are relatively low. To date, extensive reservoir evaluation studies have been undertaken to locate favorable zones for oil exploration and exploitation. However, without the geological constraint principles, the selected evalua ... [显示更多](#)

[出版商处的全文](#) ...

2 **Numerical study on micro-cracks and permeability changes linked to clay swelling after fracturing in shale rock** 9 被引频次 29 参考文献

Liu, BL; Liang, Y and Ito, T
Oct 2022 | JOURNAL OF PETROLEUM SCIENCE AND ENGINEERING 217

The shale rock, with relatively low permeability and porosity, is usually challenging to be developed economically. Hydraulic fracturing is widely used as a stimulation technique for shale gas exploitation. Unlike tight gas reservoirs, shale gas reservoirs appear to show different characteristics under hydraulic fracturing, with a low flow-back rate leading to ... [显示更多](#)

[出版商处的免费全文](#) ...

[相关记录 ?](#)



Numerical study on micro-cracks and permeability changes link swelling after fracturing in shale rock

作者 Liu, BL (Liu, Bailong) [1]; Liang, Y (Liang, Yu) [2], [3]; Ito, T (Ito, Takatoshi) [1]

[查看 Web of Science ResearcherID 和 ORCID](#) (由 Clarivate 提供)

来源出版物

JOURNAL OF PETROLEUM SCIENCE AND ENGINEERING

[→ 查看期刊影响](#)

文献号

[在 Web of Science 内检索](#)

出版时间

OCT 2022

已索引

2023-01-13

文献类型

Article

摘要

The shale rock, with relatively low permeability and porosity, is usually challenging to be developed. Hydraulic fracturing is widely used as a stimulation technique for shale gas exploitation. Unlike tight shale gas reservoirs appear to show different characteristics under hydraulic fracturing, with a low permeability leading to high productivity. This might be linked to micro-cracks generated by the clay swelling when water penetrates the rock, as shown in previous fracturing experiments. However, detailed failure patterns and permeability changes under different conditions (e.g., in-situ stress, pore pressure, and clay content) are ambiguous. In this study, numerical simulations were adopted to address these issues. A solid mechanics model based on the Finite element method was used to predict the generation of micro-crack and permeability evaluation model considering the micro-crack was applied to estimate the permeability changes under different conditions.

← 期刊信息



JOURNAL OF PETROLEUM SCIENCE AND ENGINEERING

出版商名称: ELSEVIER

期刊影响因子™

4.4

2022

4.5

五年

JCR 学科类别	类别排序	类别分区
ENERGY & FUELS 其中 SCIE 版本	62/119	Q3
ENGINEERING, PETROLEUM 其中 SCIE 版本	3/19	Q1

来源: Journal Citation Reports 2022. [进一步了解](#)

Journal Citation Indicator™

1.1

2022

1.21

2021

JCI 学科类别	类别排序	类别分区
ENERGY & FUELS 其中 SCIE 版本	46/155	Q2
ENGINEERING, PETROLEUM 其中 SCIE 版本	3/22	Q1

期刊引文指标是衡量期刊在最近三年内发表的可引用项目 (文献和审阅) 的平均学科规范化的引文影响力 (CNCI)。它用于帮助您根据期刊影响因子 (JIF) 以外的其他指标评估期刊。



跟踪领域最新进展

利用Web of Science跟踪最新研究进展



怎样利用Web of Science将有关课题的
最新文献信息自动发送到您的Email邮箱?

- ✓ 定题跟踪
- ✓ 引文跟踪

创建“定题跟踪”- 实时跟踪最新研究进展

Clarivate 简体中文 产品

Web of Science™ 检索 标记结果列表 历史 跟踪服务 Dan Li

检索 > 检索结果 > 检索结果

7,987 条来自 Web of Science 核心合集的结果:

Q "heavy metal*" AND fish* (主题) 分析检索结果 引文报告 **创建跟踪服务**

复制检索式链接

出版物 您可能也想要... New

精炼检索结果

在结果中检索...

快速过滤

- 高被引论文 29
- 热点论文 1
- 综述论文 353
- 在线发表 83
- 开放获取 1,632
- 相关数据 27

0/7,987 添加到标记

“定题跟踪”：可实时跟踪某课题、某作者、某机构、某期刊等的最新研究进展

1 Effects of heavy metal accumulation on the 96-h LC50 values in tench Tinca tinca L., 1758 35 被引频次
Shah, SL and Altindag, A
2005 | Turkish Journal Of Veterinary & Animal Sciences
The effects of already accumulated heavy metals (Hg, Cd, Pb) in the body of tench on the 96-h LC50 values of the respective heavy metals were studied. The body concentration of mercury, cadmium and lead was 0.011, 0.32 and 1.59 mg/g respectively, and their 96-h LC50 values were 1.0, 6.5 and 300.0, ppm, respectively. The general accumulation order < ... 显示更多
S·F·X

2 Indicator tissues for heavy metal monitoring - Additional attributes 31 被引频次
Rayment, GE and Barry, GA
Jul-Dec 2000 | Marine Pollution Bulletin

创建跟踪服务 & 管理保存的检索历史

设定选项:

- 跟踪名称
- 电子邮件跟踪
- 频率

创建检索跟踪

跟踪名称

向我发送电子邮件跟踪

创建

Clarivate 简体中文 产品

Web of Science™ 检索 标记结果列表 历史 跟踪服务 Dan Li

检索跟踪

跟踪名称 - 升序

姓名: heavy metal and fish "heavy metal*" AND fish* (主题) 活动 重新运行检索 更少选项

数据库: Web of Science 核心合集

检索详细信息

数据库: Web of Science 核心合集

创建日期: July 1, 2021

说明 (可选): 说明

跟踪首选项

电子邮件收件人: dan.li@clarivate.com 编辑

频率: 每周

没有新结果时继续接收电子邮件

不想再跟踪? 删除

创建“引文跟踪” - 随时掌握最新研究进展

检索 > 检索结果 > 检索结果 > Microstructures and proper... > Microstructures and proper...



出版商处的全文

全文链接

导出

添加到标记结果列表

< 2 / 5,857 >

Microstructures and properties of high-entropy alloys

作者: Zhang, Y (Zhang, Yong)¹; Zuo, TT (Zuo, Ting Ting)¹; Tang, Z (Tang, Zhi)²; Gao, MC (Gao, Michael C.)^{3, 4}; Dahmen, KA (Dahmen, Karin A.)⁵; Liaw, PK (Liaw, Peter K.)²; Lu, ZP (Lu, Zhao Ping)¹

查看 Web of Science ResearcherID 和 ORCID (由 Clarivate 提供)

PROGRESS IN MATERIALS SCIENCE

卷: 61 页: 1-93

DOI: 10.1016/j.pmatsci.2013.10.001

出版时间: APR 2014

文献类型: Review

摘要

This paper reviews the recent research and development of high-entropy alloys (HEAs). HEAs are alloys with more than five principal elements in equal or near equal atomic percent (at.%). The concept of HEAs is an advanced materials with unique properties, which cannot be achieved by the conventional single element. Up to date, many HEAs with promising properties have been reported, e.g., high strength Al_{0.2}Co_{1.5}CrFeNi_{1.5}Ti alloys; high-strength body-centered-cubic (BCC) AlCoCrFeNi HEAs at room temperatures. Furthermore, the general corrosion resistance of the Cu_{0.5}NiAlCoCrFeSi HEAs is similar to that of stainless steel. This paper first reviews HEA formation in relation to thermodynamics, kinetics, and processing. Physical, magnetic, chemical, and mechanical properties are then discussed. Great details are provided on the plastic deformation, fracture, and magnetization from the perspectives of crackling noise and Barkhausen noise measurements, and the analysis of serrations on stress-strain curves at specific strain rates or testing temperatures, as well

创建引文跟踪

该论文每次被引用时，您都会自动收到电子邮件。

创建

引文网络

来自 Web of Science 核心合集

2,540

被引频次



高被引论文

创建引文跟踪

创建引文跟踪

被引频次计数

2,667 来自 所有数据库

+ 查看更多引文

篇被引参考文献

297

查看相关记录

利用引文数据寻找领域前沿

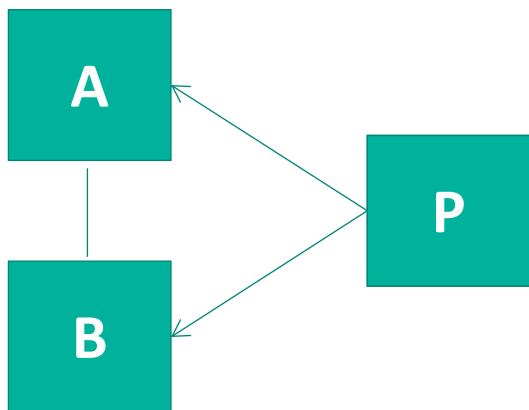


Essential Science Indicators

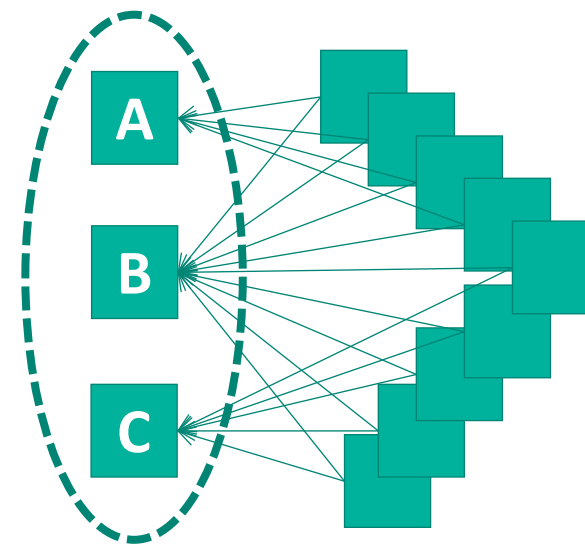
研究前沿Research Fronts

共被引(Co-Citation)原理: 共被引是一种新的文献耦合形式

计算一对文献被第三方同时引用的次数，越多的文献引用这一对文献，它们之间的相关性就越强。



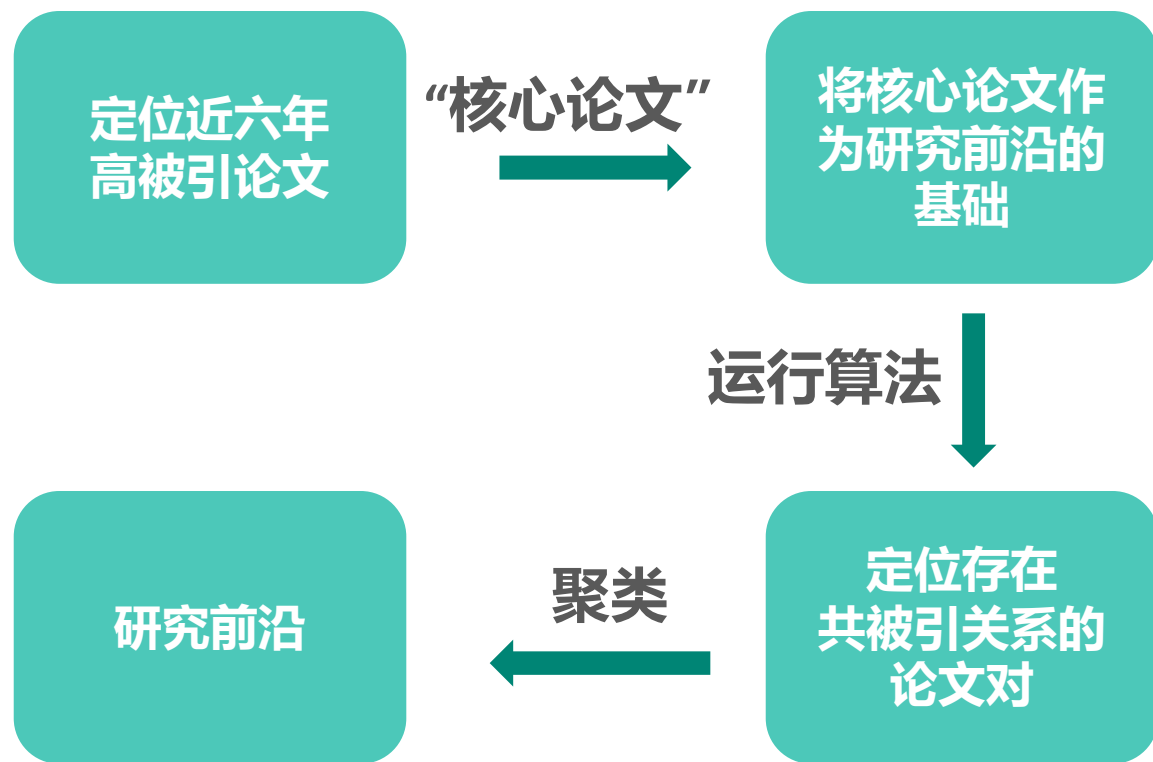
当论文A和论文B同时被论文P引用
A和B很有可能具有研究主题方面的相关性



当共被引频率较高时，即形成了一组文献
它们之间具有研究主题方面的相关性

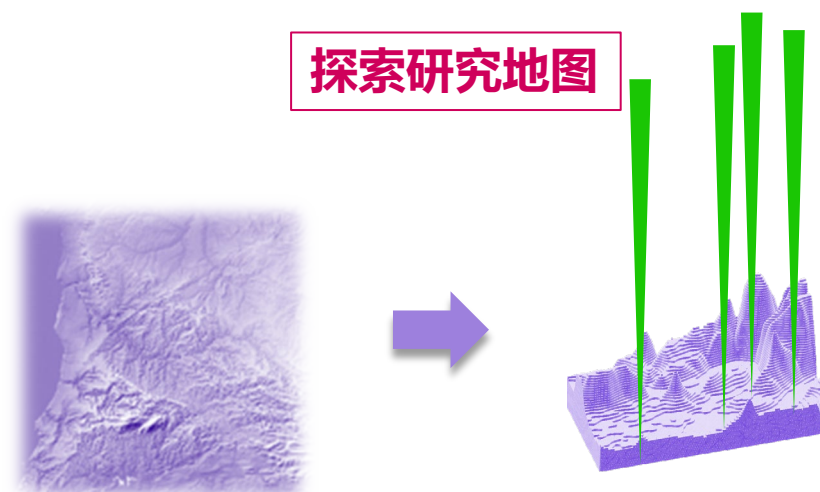
研究前沿 Research Fronts

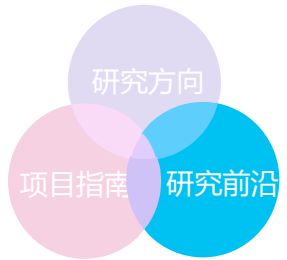
利用co-citation analysis对高被引论文进行分析，一组高被引论文的标题中的主要关键词组成研究前沿



ESI Research Fronts的生成过程

- ❖ 研究前沿的分析提供了一个**独特的视角去洞悉科学研究是如何展开的**，揭示了不同研究者因**探究科学问题产生的关联性**。





利用ESI数据库辅助确定研究前沿

Web of Science | InCites | Journal Citation Reports | Essential Science Indicators | EndNote | Publons | Sign In | Help | English

InCites Essential Science Indicators

Clarivate Analytics

Indicators | Field Baselines | Citation Thresholds

Top Papers by Research Fields

Results List: Research Fields

Filter Results By: Add Filter »

Include Results For: Top Papers

Clear | Save Criteria

Research Fronts 研究前沿

Report View by Selection

Total: 22	Research Fields	Web of Science Documents	Cites	Cites/Paper	Top Papers
1	CLINICAL MEDICINE	3,062,001	42,002,631	13.72	30,677
2	CHEMISTRY	1,865,738	30,415,590	16.30	18,600
3	MATERIALS	1,056,234	18,082,641	17.12	10,597
4	PHYSICS	1,609,468	16,373,027	10.17	16,100
5	BIOCHEMISTRY	791,911	14,287,508	18.04	7,877
6	PHYSICS	1,109,342	13,555,668	12.22	11,182
7	MOLECULAR BIOLOGY & GENETICS	513,752	12,617,400	24.56	5,114
8	NEUROSCIENCE & BEHAVIOR	549,910	10,299,829	18.73	5,520
9	ENVIRONMENT/E COLOGY	646,751	9,470,682	14.64	6,363
10	SOCIAL SCIENCES, GENERAL	1,071,679	8,699,878	8.12	10,796

根据关键词查找前沿

利用Essential Science Indicators 发现研究前沿

- 获取与我申请基金选题方向相关的研究前沿与热点
- 利用研究前沿与热点预测我的研究领域未来发展趋势

科睿唯安与中国科学院合作发布研究前沿系列报告

自2014年起，Clarivate与中国科学院合作发布研究前沿报告。《2023研究前沿》报告依托于中国科学院杰出的文献分析实力，根据科睿唯安Web of Science和Essential Science Indicators（基础科学指标，简称ESI）的高质量数据，遴选出了2023年自然科学和社会科学的10大学科领域排名最前的110个热点前沿和18个新兴前沿。

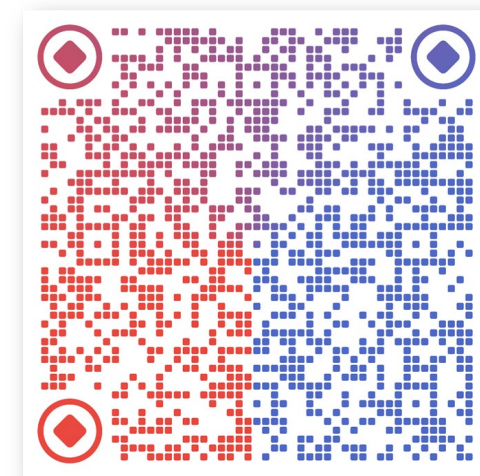
2014 → 2015 → 2016 → 2017 → 2018 → 2019 → 2020 → 2021 → 2022



2017 2018 2019 2020 2021 2022



Active Fields, Leading Countries
《研究前沿热度指数》



2023 研究前沿
RESEARCH FRONTS

地球科学

表 13 地球科学领域 Top 10 热点前沿

排名	热点前沿	核心论文	被引频次	核心论文平均出版年
1	集成卫星激光测高数据的海洋及森林测绘	15	1439	2020.0
2	小行星地表特征和样本成分分析	15	1969	2019.7
3	CMIP6 模式高气候敏感度成因及影响研究	8	1509	2019.5
4	气候变化对美国西部野火后森林恢复力的影响	8	1037	2019.4
5	高亚洲冰川质量变化的水文响应	31	5327	2019.3
6	南极洲和格陵兰岛冰量损失对海平面变化的影响	26	4140	2019.3
7	基于卫星遥感数据的城市热岛效应研究	7	1152	2019.3
8	全球海风和海浪测量与评估	6	749	2019.3
9	多种地球系统模型的配置优化与进展研究	33	5382	2019.2
10	利用重力勘测和气候试验及其后继任务研究陆地水储量变化	10	1876	2019.2

2023 研究前沿
RESEARCH FRONTS

化学与材料科学

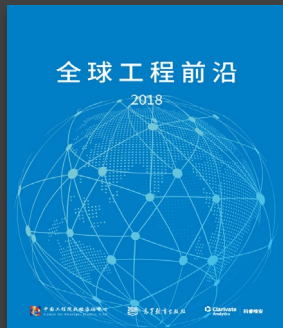
表 30 化学与材料科学领域 Top 10 热点前沿

排名	热点前沿	核心论文	被引频次	核心论文平均出版年
1	海水电解催化剂	11	2003	2020.0
2	高熵合金催化剂	13	2119	2019.9
3	电催化硝酸根还原合成氨	13	2673	2019.8
4	量子点发光二极管	13	2391	2019.7
5	机械化学	16	3095	2019.6
6	阴离子交换膜燃料电池	15	3096	2019.5
7	二维晶体管	10	2692	2019.5
8	电催化合成过氧化氢	39	7728	2019.4
9	人工分子机器	17	3240	2019.4
10	超分子粘合剂	13	2987	2019.4

科睿唯安与中国工程院联合发布工程前沿系列报告

《全球工程前沿2023》报告依托中国工程院9个学部，围绕机械与运载工程、信息与电子工程、化工冶金与材料工程、能源与矿业工程、土木水利与建筑工程、环境与轻纺工程、农业、医药卫生、工程管理9个领域，遴选出93项全球工程研究前沿和94项全球工程开发前沿，并筛选出28个工程研究前沿和28个工程开发前沿进行重点解读。

报告中工程研究前沿的遴选基于科睿唯安Web of Science核心合集的引文数据和专家提名，工程开发前沿的遴选基于科睿唯安Derwent Innovation专利数据库中的数据和专家提名及其专利分析。



全球工程前沿 2023

中国工程院全球工程前沿项目组 著

四、能源与矿业工程

1 工程研究前沿

1.1 Top 12 工程研究前沿发展态势

能源与矿业工程领域组研判的 Top 12 工程研究前沿见表 1.1.1, 涵盖了能源和电气科学技术与工程、核科学技术与工程、地质资源科学技术与工程、矿业科学技术与工程 4 个学科。其中, “海水直接制氢技术研究” “基于可再生能源的电力多元转换技术” “高比能锂金属电池” 属于能源和电气科学技术与工程领域; “紧凑型聚变堆高温超导磁体” “核能制氢工艺路线及关键材料性能研究” “高放废物深地质处置核心技术” 属于核科学技术与工程领域; “能源资源遥感成像变化检测方法” “基于人工智能的钻井速率预测模型” “水力压裂的储层改造特征和效果” 属于地质资源科学技术与工程领域; “地热系统岩石热-水-力耦合过程下多尺度断裂模拟研究” “海洋深水复杂地层油气开发提质增效理论” “安全高效深地采矿岩石力学建模” 属于矿业科学技术与工程领域。

2017—2022 年各研究前沿相关的核心论文逐年发表情况见表 1.1.2。

(1) 海水直接制氢技术研究

海水直接制氢技术是指不经过淡化等预处理过程而直接将海水分解为氢气和氧气的技术。但由于海水成分极其复杂(含高达 92 种化学元素), 面临着析氯副反应、膜堵塞、腐蚀性等诸多难题与挑战。自 1975 年 Williams 首先提出海水直接制氢技术构想的半个世纪以来, 国际上仍以海水直接电解制氢的四大路

表 1.1.1 能源与矿业工程领域 Top 12 工程研究前沿

序号	工程研究前沿	核心论文数	被引频次	篇均被引频次	平均出版年
1	海水直接制氢技术研究	455	13 177	28.96	2020.8
2	紧凑型聚变堆高温超导磁体	468	4 595	9.82	2019.9
3	能源资源遥感成像变化检测方法	36	2 342	65.06	2020.3
4	地热系统岩石热-水-力耦合过程下多尺度断裂模拟研究	11	379	34.45	2021.5
5	基于可再生能源的电力多元转换技术	212	5 174	24.41	2020.4
6	高比能锂金属电池	282	75 243	266.82	2018.6
7	核能制氢工艺路线及关键材料性能研究	174	15 263	87.72	2018.4
8	高放废物深地质处置核心技术	387	3 058	7.90	2020.0
9	基于人工智能的钻井速率预测模型	42	686	16.33	2019.4
10	水力压裂的储层改造特征和效果	162	2 474	15.27	2019.9
11	海洋深水复杂地层油气开发提质增效理论	114	783	6.87	2019.7
12	安全高效深地采矿岩石力学建模	30	1 309	43.63	2020.0



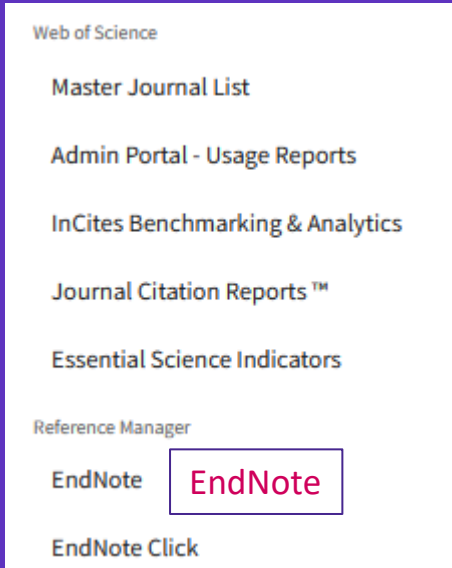
EndNote 高效助力文献管理

如何有效地管理文献及如何输出文献内容?

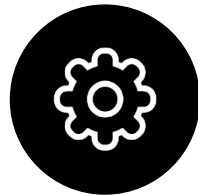
EndNote Online– 文献管理工具

The screenshot shows the Clarivate Web of Science search interface. At the top left is the Clarivate logo. At the top right, there is a language dropdown set to '简体中文' and a '产品' (Products) menu. The '产品' menu is open, listing various services: Web of Science, Master Journal List, 使用情况报告, InCites Benchmarking & Analytics, Journal Citation Reports™, Essential Science Indicators, Reference Manager, EndNote (highlighted with a red oval), and EndNote Click. In the center of the interface, a red box contains the text 'EndNote Online'. Below this, another red box contains the text 'EndNote网络版账号与Web of Science通用 如有WoS账号，可以直接登录EndNote网络版'. The main search area shows '选择数据库: Web of Science 核心合集' and '引文索引: Science Citation Index Expanded (SCI-EXPANDED)--1900-至今'. There are tabs for '文献' and '研究人员'. A search input field contains the text '主题'. At the bottom, there are buttons for '+ 添加行', '+ 添加日期范围', '高级检索', '× 清除', and '检索'.

管理文献/提高协作效率: EndNote和EndNote Online



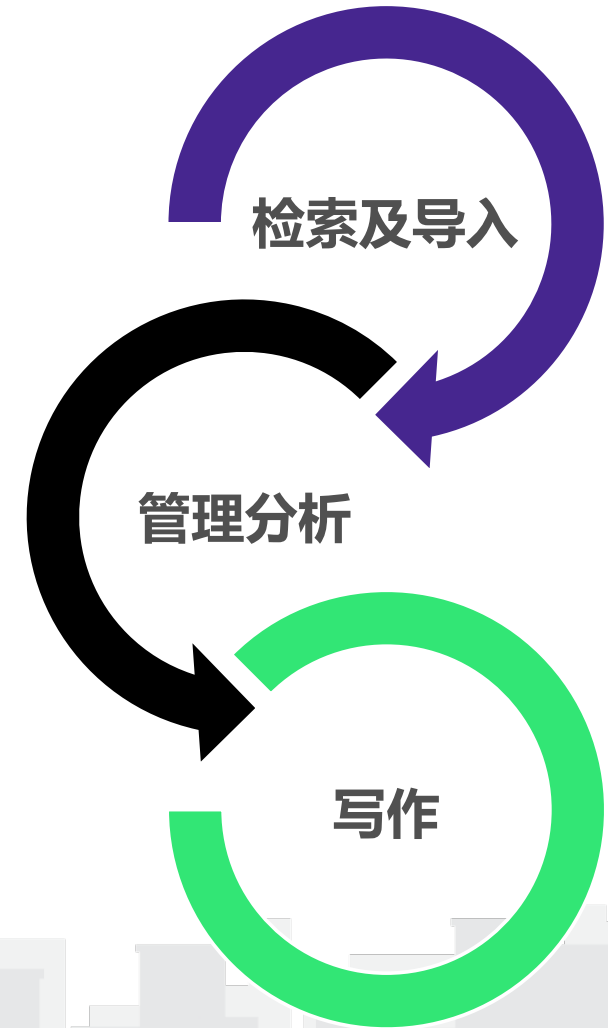
- 建立**个人文献图书馆**
- 从数据库检索文献并快速导入至个人文献图书馆
- 帮助寻找文献全文



- **管理不同来源的中英文文献**
- 将数据库的信息资源与工作小组成员共享
- 根据需要创建组, 去重、排序、分析、阅读笔记, 随时更新, 编辑记录



- 撰写论文时, 迅速找到相关的文献、图片、表格, 将其自动插入论文相应的引用位置
- 准备投稿时, 按照投稿期刊的要求将文中文后的**参考文献自动格式化**, 提高论文写作效率



EndNote
Research Smarter

EndNote Online– 文献管理工具

Clarivate 简体中文 产品

Web of Science™ 检索

Web of Science
Web of Science (Classic)
Master Journal List
Publons
InCites Benchmarking & Analytics
Journal Citation Reports™
Essential Science Indicators
Reference Manager
EndNote
EndNote Click

检索 > ((UAV or UAVs or ((unman* or unpilot* or autonomous*) and (aerial vehicle* ...

31,557 条来自 Science Citation Index Expanded (SCI-Expanded)的结果:

Q ((UAV or UAVs or ((unman* or unpilot* or autonomous*) and (aerial vehicle* or aerial robot* or aircraft or airplane or plane)))) (... 分析检索结果

复制检索式链接

出版物 您可能也想要...

精炼检索结果

在结果中检索...

按标记结果列表过滤

快速过滤

- 高被引论文 528
- 热点论文 15

1/31,557 添加到标记结果列表 导出

EndNote online
EndNote desktop
Add to my Publons profile
Plain text file
RIS (other reference software)
BibTeX
Excel
Tab delimited file
Printable HTML file
InCites
FECYT CVN
More Export Options

排序方式: 相关

Unmanned Aerial Vehicles 1
被引频次
64
参考文献

1 auSense: Collaborative Airspace Sensing by Co
Pan, Y; Li, SN; (...); Zhu, T
Jun 2020 | IEEE TRANSACTIONS ON VEHICULAR TECHNOLOG
In recent years, a large number of commercial airplanes equ
atmospheric composition and meteorological data. Based o
inherent limitation of such an airplane-based sensing system

contributing to collecting the
ane dataset, we identify an
ce with s; ... 显示更多

EndNote Online– 文献管理工具

The screenshot shows the EndNote Online web interface. At the top left is the Clarivate Analytics logo and the text 'EndNote'. Below this is a navigation bar with tabs: '我的参考文献', '收集', '组织', '格式化', '匹配', '选项', and '下载项'. The main content area is titled '我的参考文献' and contains a search box, a dropdown for '检索范围' (set to '我的所有参考文献'), and a '检索' button. Below the search is a sidebar with '我的参考文献' (275) and a list of groups like 'abd (12)', 'axon reg (8)', etc. The main list shows search results with columns for '作者', '出版年', and '标题'. Annotations in purple boxes point to the search bar and the list area.

快速检索

快速检索

有效地组织管理手头的参考文献

小插件：实现word与EndNote online之间的对接

The screenshot displays the EndNote online web interface. At the top left is the 'Clarivate Analytics | EndNote' logo. A navigation bar contains tabs for '我的参考文献', '收集', '组织', '格式化', '匹配', '选项', and '下载项'. Below this, a secondary bar includes '书目', 'Cite While You Write™ 插件', '格式化论文', and '导出参考文献'. A purple callout box highlights the 'Cite While You Write' plugin name. The main content area is divided into three columns:

- 快速检索 (Quick Search):** Includes a search input field with the text '检索', a dropdown menu for '检索范围' set to '我的所有参考文献', and a '检索' button.
- 我的参考文献 (My References):** Shows '我的所有参考文献(275)' with sub-categories like '[未归档] (0)', '临时列表(0)', and '回收站(5) 清空'. Below is a list of groups such as 'abd (12)', 'axon reg (8)', 'axon regeneration-highly cite... (44)', 'Chiroptera (27)', 'Citation Report Example (119)', 'Corvids (24)', 'Echolocation (10)', 'funding (1)', 'jc (4)', 'newly added (54)', 'Open Access Articles (13)', 'papers (12)', 'Parrots (25)', and 'References to Update (2)'.
- 查找 (Find):** Features a magnifying glass icon and the text '检索在线数据库或导入现有的文献集以收集参考文献。' Below are three bullet points: '检索在线数据库', '手动创建参考文献', and '导入参考文献'. A fourth bullet point, '找出最适合您的期刊', is highlighted with a purple '新!' tag.
- 存储并共享 (Store and Share):** Features an icon of two people and the text '以任何适用的方式组织和分组参考文献。然后与同行共享您的组。' Below are three bullet points: '创建新组', '共享组', and '查找重复的参考文献'.
- 创建 (Create):** Features a document icon and the text '使用我们的插件对书目进行格式化，并在撰写时引用参考文献。' Below are three bullet points: 'Cite While You Write™ 插件', '创建格式统一的书目', and '格式化论文'.

小插件：实现word与EndNote online之间的对接

The screenshot shows the Microsoft Word interface with the EndNote toolbar. The EndNote toolbar includes buttons for 'Insert Citation', 'Edit & Manage Citation(s)', 'Edit Library Reference(s)', 'Categorize References', 'Instant Formatting is Off', 'Manuscript Matcher', 'Preferences', and 'Help'. A search box is also present. The 'EndNote' button in the ribbon is highlighted with a purple box and labeled '1. 工具栏中选择“EndNote”'. The 'Style: Annotated' dropdown menu is highlighted with a purple box and labeled '2. 选择“Style”'. The 'Insert Citation' button in the EndNote toolbar is highlighted with a purple box and labeled '3. 最左侧选择“Insert Citation”'. A dialog box titled 'EndNote 20 Find & Insert My References' is open, showing a search box with 'cognition' and a 'Find' button, both highlighted with a purple box and labeled '4. 在弹出窗口中检索已经导入EndNote的目标参考文献'. The dialog box displays a list of references with columns for Author, Year, and Title. Below the list, the details for a selected reference are shown: Reference Type: Journal Article, Record Number: 2267, Author: Zorina, Z. A., Obozova, T. A., Year: 2011, Title: New Data on the Brain and Cognitive Abilities of Birds, Journal: Zoologichesky Zhurnal, Volume: 90, Issue: 7, Pages: 784-802, Date: Jul, Type of Article: Article. The 'Insert' button at the bottom of the dialog box is highlighted with a purple box and labeled '5. 点击“Insert”'.

1. 工具栏中选择“EndNote”

2. 选择“Style”

3. 最左侧选择“Insert Citation”

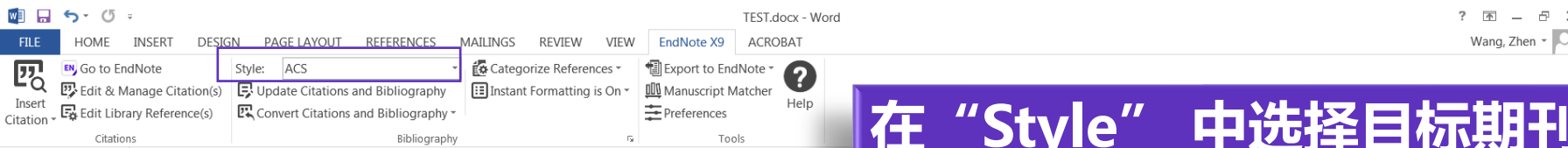
4. 在弹出窗口中检索已经导入EndNote的目标参考文献

5. 点击“Insert”

小插件：实现word与EndNote online之间的对接

The screenshot displays the Microsoft Word interface with the EndNote ribbon active. The ribbon includes options like 'Style: Chemistry', 'Categorize References', 'Export to EndNote', 'Manuscript Matcher', and 'Preferences'. A purple callout box highlights the 'Style: Chemistry' dropdown with the text: '如果另投他刊, 选择“Style”更换期刊'. Below the ribbon, the document content shows a citation: 'test^[1]'. A purple callout box points to this citation with the text: '正文及文末均插入了目标参考文献'. A larger purple callout box contains the full reference text: '[1] a) S. Gallage, M. Garcia-Beccaria, M. Szydłowska, M. Rahbari, R. Mohr, F. Tacke and M. Heikenwalder, *Med* **2021**, 2, 505-552; b) A. Huang, X. R. Yang, W. Y. Chung, A. R. Dennison and J. Zhou, *Signal Transduction and Targeted Therapy* **2020**, 5; c) M. Kudo, *Liver Cancer* **2020**, 9, 640-662.'

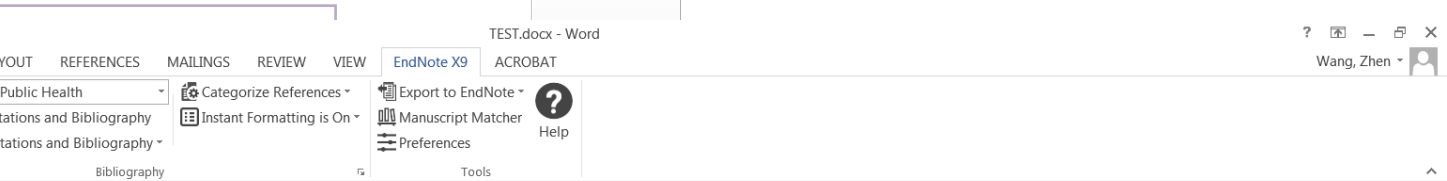
EndNote online——如何统一做格式化处理?



在“Style”中选择目标期刊参考文献格式

- Test1-6
1. Biscardo, C. A.; Bucciol, A.; Pe...
Economics **2019**, *28* (3), 373-386.
 2. Canitez, F.; Alpkokin, P.; Bla...
contracting between the transport au...
86, 154-166.
 3. Dave, D. M.; Kaestner, R.; Wel...
affect prenatal health behaviors? *Jour*
 4. Gomez-Mejia, L. R.; Neacsu, I...
Behavioral Agency Model, Family Cor...
(4), 1713-1738.
 5. Holzhaider, J. C.; Sibley, M. D.;...
structure of New Caledonian crows. *A*
 6. Lipsy, P. Y.; Lee, H. N. K., The IM...
Hazard, Reserve Accumulation, and Fi

修改前



Test(Biscardo et al. 2019; Canitez et al. 2019; Dave et al. 2019; Gomez-Mejia et al. 2019; Holzhaider et al. 2011; Lipsy and Lee 2019)

- Biscardo CA, Bucciol A, Pertile P (2019) Job sick leave: Detecting opportunistic behavior *Health Economics* 28:373-386 doi:10.1002/hec.3850.
- Canitez F, Alpkokin P, Black JA (2019) Agency costs in public transport systems: Net-cost contracting between the transport authority and private operators - impact on passengers *Cities* 86:154-166 doi:10.1016/j.cities.2018.09.010.
- Dave DM, Kaestner R, Wehby GL (2019) Does public insurance coverage for pregnant women affect prenatal health behaviors? *Journal of Population Economics* 32:419-453 doi:10.1007/s00148-018-0714-z.
- Gomez-Mejia LR, Neacsu I, Martin G (2019) CEO Risk-Taking and Socioemotional Wealth: The Behavioral Agency Model, Family Control, and CEO Option Wealth *Journal of Management* 45:1713-1738 doi:10.1177/0149206317723711.
- Holzhaider JC, Sibley MD, Taylor AH, Singh PJ, Gray RD, Hunt GR (2011) The social structure of New Caledonian crows *Anim Behav* 81:83-92 doi:10.1016/j.anbehav.2010.09.015.
- Lipsy PY, Lee HNK (2019) The IMF As a Biased Global Insurance Mechanism: Asymmetrical Moral Hazard,

修改后

科研过程中合理利用文献

研究人员的文献平台可以由二次文献数据库 (如SCI)作为入口, 满足整体的需求; 然后, 通过这个入口来获取有用的高质量的全文期刊来满足纵深的研究需要。

如何获取
全文呢?

划重点：EndNote Click（一键获取全文）

The screenshot shows the Web of Science search interface. At the top left is the Clarivate logo. The top right has a language dropdown set to '简体中文' and a '产品' (Products) menu. The main header includes 'Web of Science™' and '检索' (Search). Below this, there are tabs for '文献' (Literature) and '研究人员' (Researchers). The '文献' tab is active, showing a search form with a database dropdown set to 'Web of Science 核心合集' and a citation index dropdown set to 'Science Citation Index Expanded (SCI-EXPANDED)--1900-至今'. The search input field contains a complex query: '((UAV or UAVs or ((unman* or unpilot* or autonomous*) and (aerial vehicle* or aerial robot* X'. Below the search field are buttons for '+ 添加行', '+ 添加日期范围', and '高级检索'. At the bottom right of the search form are buttons for 'x 清除' and '检索'. On the right side, a '产品' (Products) dropdown menu is open, listing various services. The 'EndNote Click' option is highlighted with a red box. A red callout box with the text 'EndNote Click' is positioned over the search input field.

划重点: EndNote Click (一键获取全文)

Clarivate 简体中文 产品

Web of Science™ 检索 标记结果列表 历史 跟踪服务 qi wei

检索 > A Programmable Dual-RNA-Gu...

S-F-X 出版商处的全文 全文链接 导出 添加到标记结果列表 < 1 / 1 >

A Programmable Dual-RNA-Guided DNA Endonuclease in Adaptive Bacterial Immunity

作者: Jinek, M (Jinek, Martin)^{1, 2}; Chylinski, K (Chylinski, Krzysztof)^{3, 4}; Fonfara, I (Fonfara, Ines)⁴; Hauer, M (Hauer, Michael)²; Doudna, JA (Doudna, Jennifer A.)^{1, 2, 5, 6}; Charpentier, E (Charpentier, Emmanuelle)⁴

查看 Web of Science ResearcherID 和 ORCID (由 Clarivate 提供)

SCIENCE
卷: 337 期: 6096 页: 816-821
DOI: 10.1126/science.1225829
出版时间: AUG 17 2012
文献类型: Article

摘要
Clustered regularly interspaced short palindromic repeats (CRISPR)/CRISPR-associated (Cas) systems provide bacteria and archaea with adaptive immunity against viruses and plasmids by using CRISPR RNAs (crRNAs) to guide the silencing of invading nucleic acids. We show here that in a subset of these systems, the mature crRNA that is base-paired to trans-activating crRNA (tracrRNA) forms a two-RNA structure that directs the CRISPR-associated protein Cas9 to introduce double-stranded (ds) breaks in target DNA. At sites complementary to the crRNA-guide sequence, the Cas9 HNH nuclease domain cleaves the complementary strand, whereas the Cas9 RuvC-like domain cleaves the noncomplementary strand. The dual-tracrRNA:crRNA, when engineered as a single RNA chimera, also directs sequence-specific Cas9 dsDNA cleavage. Our study reveals a family of endonucleases that use dual-RNAs for site-specific DNA cleavage and highlights the potential to exploit the system for RNA-programmable genome editing.

关键词
Keywords Plus: CRISPR RNA; ANTIVIRAL DEFENSE; COMPLEX; SYSTEM; INTERFERENCE; RECOGNITION; MECHANISM; ENDORIBONUCLEASE; ...
...RATION; RESISTANCE

作者信息
通讯作者地址: Doudna, Jennifer A. (通讯作者)
Univ Calif Berkeley, HHMI, Berkeley, CA 94720 USA
地址:
1
2
3 Univ Vienna, MFPL, A-1030 Vienna, Austria

引文网络

来自 Web of Science 核心合集

6,954 高被引论文

被引频次

创建引文跟踪

被引频次计数

7,516 来自 所有数据库
+ 查看更多引文

篇引用的参考文献

38
查看相关记录

您可能也想要...

Doudna, JA; Charpentier, E;
The new frontier of genome engineering with
CRISPR-Cas9
SCIENCE
...; Charpentier, E; et al.
... by trans-encoded
... RNase III
NATURE

查看PDF EN

自动搜寻机构已订期刊、OA或是机构知识库等开源文献

划重点: EndNote Click (一键获取全文)

The screenshot displays the EndNote Click interface. On the left, a sidebar titled "我的 Locker" (My Locker) contains a list of saved items, including "M. Jinek et al. Science (2012)". Below this, there are several action buttons: "已保存到储存柜" (Saved to storage), "始终保存到储存柜" (Always save to storage), "下载 PDF" (Download PDF), "分享 PDF" (Share PDF), "导出参考" (Export references), "Push to EndNote Web", "在期刊网站上查看文章。" (View article on journal website), "Get citation", "Manage tags", and "Web of Science 中的更多信息" (More information in Web of Science). At the bottom of the sidebar, there is a promotional message: "帮助我们宣传 EndNote Click, 解锁一些额外的高级功能!" (Help us promote EndNote Click, unlock some extra advanced features!) with a button "邀请您的朋友" (Invite your friends).

The main area shows a PDF document viewer. The document is titled "HHMI Author Manuscript" and features the HHMI logo and "Howard Hughes Medical Institute" text. The publication information is "Published as: Science. 2012 August 17; 337(6096): 816-821." The title of the article is "A programmable dual RNA-guided DNA endonuclease in adaptive bacterial immunity". The authors listed are "Martin Jinek^{#1,2}, Krzysztof Chylinski^{#3,4}, Ines Fonfara⁴, Michael Hauer^{2,5}, Jennifer A. Doudna^{1,2,6,7,*}, and Emmanuelle Charpentier^{4,*}". The abstract text reads: "CRISPR/Cas systems provide bacteria and archaea with adaptive immunity against viruses and plasmids by using crRNAs to guide the silencing of invading nucleic acids. We show here that in a subset of these systems, the mature crRNA base-paired to *trans*-activating tracrRNA forms a two-RNA structure that directs the CRISPR-associated protein Cas9 to introduce double-stranded (ds) breaks in target DNA. At sites complementary to the crRNA-guide sequence, the Cas9 HNH nuclease domain cleaves the complementary strand while the Cas9 RuvC-like domain cleaves the non-complementary strand. The dual-tracrRNA:crRNA, when engineered as a single RNA chimera, also directs sequence-specific Cas9 dsDNA cleavage. Our study reveals a family of endonucleases that use dual-RNAs for site-specific DNA cleavage and highlights the potential to".

On the right side of the PDF viewer, there is a vertical menu with various navigation and tool options: "转到第一页" (Go to first page), "转到最后一页" (Go to last page), "顺时针旋转" (Rotate clockwise), "逆时针旋转" (Rotate counter-clockwise), "文本选择工具" (Text selection tool), "手形工具" (Hand tool), "垂直滚动" (Vertical scroll), "水平滚动" (Horizontal scroll), "平铺滚动" (Flat scroll), "单页视图" (Single page view), "双页视图" (Double page view), "书籍视图" (Book view), and "文档属性..." (Document properties...).

添加EndNote Click插件

EndNote™ Click

Formerly Kopernio

图书馆用户 出版商用户

我的 Locker

一键点击，获取研究论文

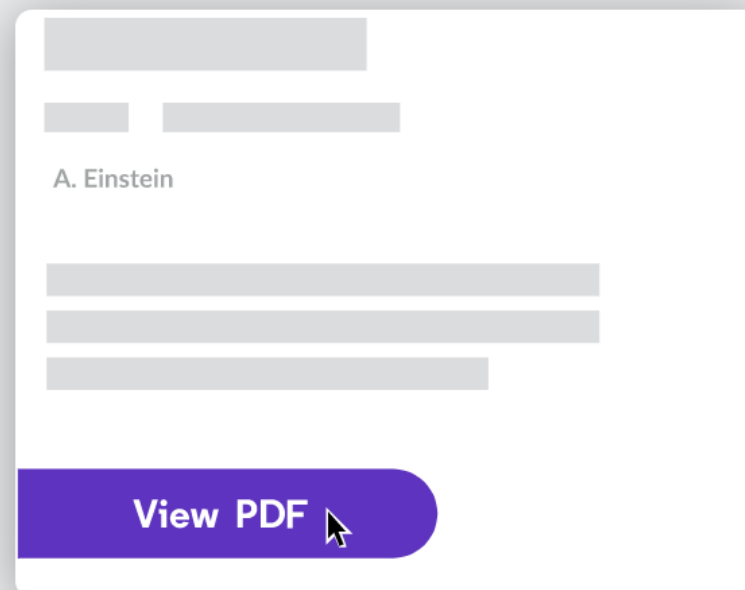
借助免费的EndNote Click插件，节省获取PDF全文的时间。

 免费加载到 Chrome

★★★★★

在Chrome网上商店评级 4.8星级

全球超过750,000位研究人员在使用



全文获取方式



图书馆文献传递



开放获取期刊: Web of Science提供OA期刊筛选功能



联系作者



EndNote Click (Formerly Kopernio)自动获取

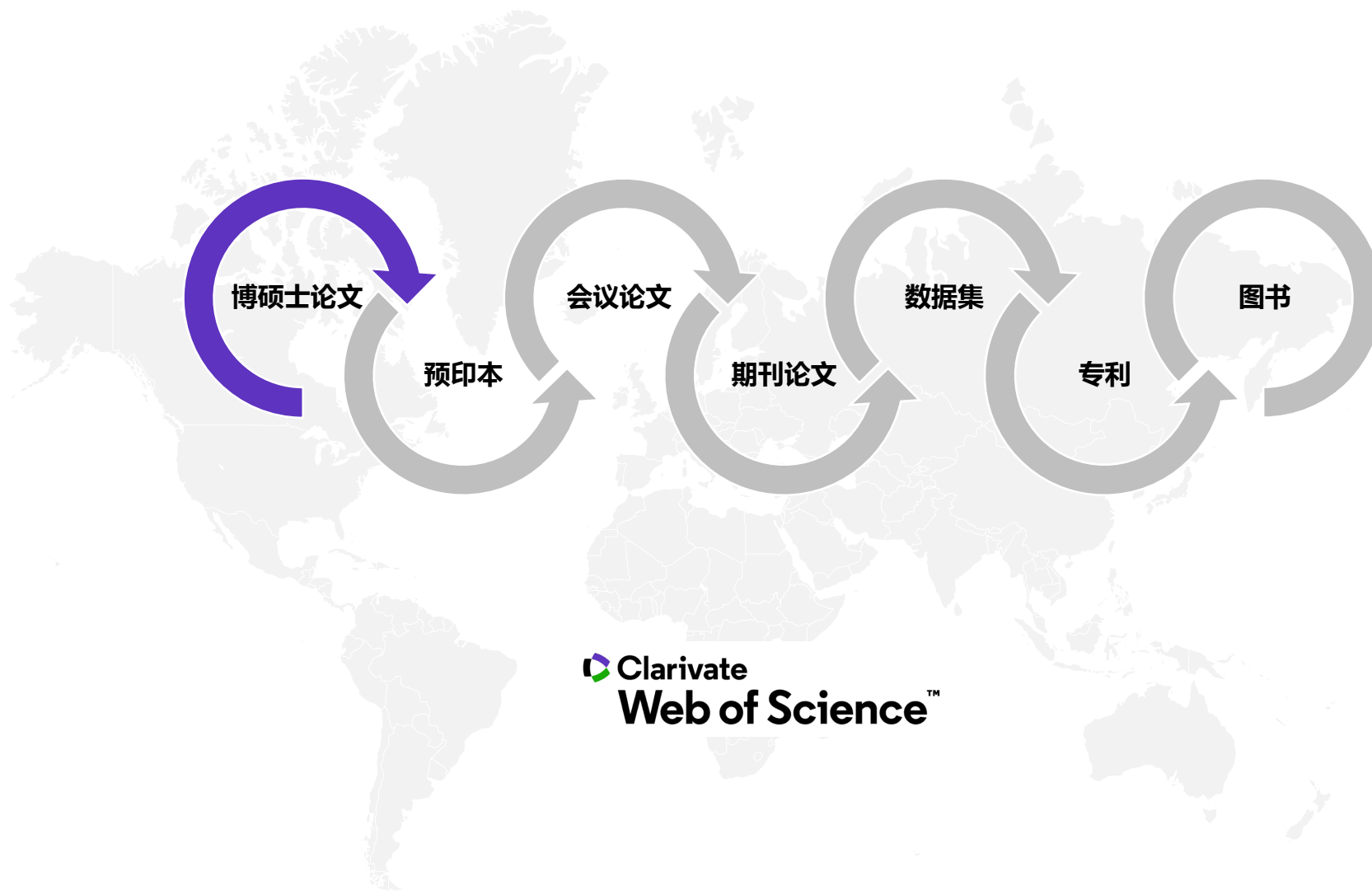
如何获取
全文呢?



多元化信息资源助推学术发展

多元化信息资源助推学术发展

- 通过整合的统一平台进行全面的
研究内容和观点梳理，从学位论文到
专利，从书籍到预印本以及科研数
据集，了解课题领域是如何演变的



更多帮助 & 资源

关注官方平台，第一时间获取最新资讯！



科睿唯安
微信公众号



更多课程

科睿唯安
学习中心



科睿唯安学习中心: 主页

Search this Guide

本网站包含科睿唯安学术研究和产品服务以及知识产权相关产品的海量培训资源。在主页将资源按照不同的人群和不同的应用场景进行分类，直接点击相应链接即可直达。

- 主页
- 科研人员资源中心
- 图情分析人员资源中心
- 短视频锦集
- 产品中心
- 知识产权资源中心
- 资料中心
- 数据库新功能专区
- 常见问答
- 企业基础研究竞争情报分析

培训日历

即将到来的培训安排

- ProQuest数据库课程安排及资料
- 【课程回放】Web of Science助您高效开展选题开题
- 【课程回放】Web of Science 加速科研创新，提升学术影响
- 【课程回放】AHCI助力开展国际视野下的艺术与人文研究
- 【课程回放】SSCI 助力社会科学研究
- 【课程回放】文献管理与写作工具 EndNote 20
- 【课程回放】IncoPat助力知识产权信息服务

Clarivate / LibGuides / 短视频锦集 / Web of Science

短视频锦集

Search this Guide

Search

Web of Science

- Web of Science平台基本功能入门
- Web of Science数据库简介
- 文献检索篇
- 课题分析篇
- 文献管理篇
- 投稿写作篇
- 学术影响力提升篇

- JCR (期刊引证报告)
- ESI (基本科学指标)
- InCites B&A
- EndNote

Web of Science平台基本功能入门



- 1.2 Web of Science平台首页介绍
- 1.3 Web of Science检索结果页面介绍
- 1.4 Web of Science文章全记录页面的介绍
- 1.6 Web of Science检索历史功能介绍
- 1.7 Web of Science平台自动跟踪功能介绍



感谢您的宝贵时间!

科睿唯安技术支持联系方式
ts.support.china@clarivate.com
021 - 8036 9475

About Clarivate

Clarivate is the leading global information services provider. We connect people and organizations to intelligence they can trust to transform their perspective, their work and our world. Our subscription and technology-based solutions are coupled with deep domain expertise and cover the areas of Academia & Government, Life Sciences & Healthcare and Intellectual Property. For more information, please visit [clarivate.com](https://www.clarivate.com)

© 2023 Clarivate

Clarivate and its logo, as well as all other trademarks used herein are trademarks of their respective owners and used under license.